



Print ISSN: 2251-7480  
Online ISSN: 2251-7400

Journal of  
Water and Soil  
Resources Conservation  
(WSRCJ)

**Web site:**  
<https://wsrcj.srbiau.ac.ir>

**Email:**  
iauwsrjcj@srbiau.ac.ir  
iauwsrjcj@gmail.com

**Vol. 14**  
**No. 1 (53)**

**Received:**  
2023-12-17

**Accepted:**  
2024-04-08

**Pages: 1-15**

## Simulation of Yield and Efficiency of Water Productivity in Soybean Plant under Deficit Irrigation and Nitrogen Fertilizer Conditions Using DSSAT Model

Amir Nikaktar<sup>1</sup>, Ali Neshat<sup>2\*</sup>, Najmeh Yazdanpanah<sup>3</sup>, Ali Abdzad Gohari<sup>4</sup> and Ebrahim Amiri<sup>5</sup>

- 1) Researcher, Department of Soil and Water Research, Hormozgan Agricultural Research and Training Center, (AREEO), Bandar Abbas, Iran.
  - 2) Associate Professor, Department of Water Engineering, Kerman Branch, Islamic Azad University, Kerman, Iran.
  - 3) Associate Professor, Department of Water Engineering, Kerman Branch, Islamic Azad University, Kerman, Iran.
  - 4) Researcher, Soil and Water Research Institute, Agricultural Research, Education and Extension Organization (AREEO), Karaj, Iran.
  - 5) Professor, Department of Water Engineering, Lahijan Branch, Islamic Azad University, Lahijan, Iran.
- \*Corresponding author emails: a.neshat8961@gmail.com

### Abstract:

**Background and Aim:** Water and fertilizer stress have a negative effect on many physical and chemical processes related to the efficiency of water productivity in soybean, thus leading to a decrease in the yield and quality of the plant. Predicting yield response for evaluating irrigation and fertilizer management strategies is of particular importance for making decisions. One of the decision support models in soybean is the CSM-CROPGRO-Soybean model, which is included in the DSSAT software package. The purpose of building this model is the ability to analyze systems and simulate, in order to evaluate income and risk, by changing management strategies in different places and different environmental conditions.

**Method:** The present research was done in Hormozgan province and in Hajiabad city with a latitude of 55 degrees and 55 minutes and a longitude of 28 degrees and 18 minutes with an average height of 1196 meters above sea level, in the cropping years of 2021 and 2022. Each experimental unit had dimensions of 5×20 meters and had 10 cultivation rows. The experiment was done in the form of split plots in the form of a randomized complete block design in 3 replications, which included the main factor without irrigation and supplying 40, 60, 80, 100, and 120% of the water requirement and the sub-factor of nitrogen fertilizer amounts included zero, 50, 100, 150 and 200 kg/hectare. In order to use the DSSAT model, data and information such as spatial location, meteorological information, soil information and agricultural operations are required. The estimation of the development process and performance in this model is based on soil-plant-atmosphere accumulation and for each soil layer, water absorption by roots and water flow in the soil are simulated.

**Results:** The root mean square relative error (RMSEn) based on the comparison of two years showed that in the first year, this index for seed, pod and biomass yield and water productivity based on seed, pod and biomass yields were 0.162, 0.161, 0.099, 0.304, 0.454 and 0.223 percent respectively, while in the second year it were 0.195, 0.172, 0.106, 0.349, 0.485 and 0.247 percent respectively. Index of Agreement (d or IoA) for seed, pod and biomass yield in the studied years from 0.872 to 0.939 percent and for water productivity based on seed, pod and biomass yield from 0.766 to 0.970 percent was variable, that the vicinity of this index to the number one indicates the reliability of the simulation values.

**Conclusion:** In general, based on the statistical results, the simulation of seed, pod and biomass yields under the effect of different irrigation requirements and different levels of nitrogen fertilizer was acceptable and it seems that the use of the model as a useful tool to support scientific research and improving decisions in water use management in soybeans in the study area are recommended.

**Keywords:** Williams cultivar, biomass, yield, fertilizer, water requirement



## شبیه‌سازی عملکرد و بهره‌وری مصرف آب گیاه سویا تحت شرایط کم‌آبیاری و کود DSSAT نیتروژن با استفاده از مدل

امیر نیک اختر<sup>۱</sup>, علی نشاط<sup>۲\*</sup>, نجمه بیزان پناه<sup>۳</sup>, علی عبدالزاده‌گوهروی<sup>۴</sup> و ابراهیم امیری<sup>۵</sup>

- (۱) محقق، بخش تحقیقات خاک و آب، مرکز تحقیقات و آموزش کشاورزی و منابع طبیعی هرمزگان، سازمان تحقیقات و آموزش کشاورزی، بندرعباس، ایران.
- (۲) دانشیار، گروه مهندسی آب، واحد کرمان، دانشگاه آزاد اسلامی، کرمان، ایران.
- (۳) دانشیار، گروه مهندسی آب، واحد کرمان، دانشگاه آزاد اسلامی، کرمان، ایران.
- (۴) محقق، بخش تحقیقات مدیریت آب در مزرعه، موسسه تحقیقات خاک و آب، سازمان تحقیقات، آموزش و ترویج کشاورزی، کرج، ایران.
- (۵) استاد، گروه مهندسی آب، واحد لاهیجان، دانشگاه آزاد اسلامی، لاهیجان، ایران.

\*ایمیل نویسنده مسئول: a.neshat8961@gmail.com

### چکیده:

**زمینه و هدف:** تنش آبی و کود بر بسیاری از فرآیندهای فیزیکی و شیمیایی مرتبط با بهره‌وری مصرف آب در سویا اثر منفی دارد، بنابراین منجر به کاهش عملکرد و کیفیت گیاه می‌شود. پیش‌بینی پاسخ عملکرد برای ارزیابی استراتژی‌های مدیریت آبیاری و کود از اهمیت خاصی جهت اتخاذ تصمیم مورد نیاز است. یکی از مدل‌های پشتیبانی تصمیم در سویا، مدل CSM-CROPGRO-Soybean می‌باشد که در بسته نرم‌افزاری DSSAT قرار دارد. هدف از ساخت این مدل، توانایی آنالیز سیستم‌ها و شبیه‌سازی، به منظور ارزیابی درآمد و ریسک، از طریق تغییر استراتژی‌های مدیریتی در نقاط مختلف و شرایط محیطی مختلف است.

**روش پژوهش:** پژوهش حاضر در استان هرمزگان و در شهرستان حاجی‌آباد با عرض جغرافیایی ۵۵ درجه و ۵۵ دقیقه و طول جغرافیایی ۲۸ درجه و ۱۸ دقیقه با ارتفاع متوسط ۱۱۹۶ متر از سطح دریا، در سال‌های زراعی ۱۴۰۰ و ۱۴۰۱ انجام شد. هر واحد آزمایشی دارای ابعاد  $20 \times 5$  متر و دارای ۱۰ ردیف کشت بود. آزمایش به صورت طرح کرت‌های خرد شده در قالب طرح بلوک کامل تصادفی در ۳ تکرار که شامل عامل اصلی بدون آبیاری و تامین ۴۰، ۶۰، ۸۰، ۱۰۰ و ۱۲۰ درصد نیاز آبی و عامل فرعی مقادیر کود نیتروژن شامل صفر، ۵۰، ۱۰۰ و ۲۰۰ کیلوگرم بر هکتار بود. جهت استفاده از مدل DSSAT داده‌ها و اطلاعاتی مانند موقعیت مکانی، اطلاعات هواشناسی، اطلاعات خاکشناسی و عملیات زراعی مورد نظر می‌باشد. برآورد روند توسعه و عملکرد در این مدل بر اساس تجمع خاک-گیاه-اتمسفر بوده و برای هر لایه خاک، جذب آب توسط ریشه و جریان آب در خاک شبیه‌سازی انجام می‌شود.

**یافته‌ها:** ریشه میانگین مربعات خطای نسبی ( $RMSE_n$ ) بر اساس مقایسه دو سال نشان داد که در سال اول این شاخص برای عملکرد دانه، غلاف و زیست توده و بهره‌وری مصرف آب مبتنی بر عملکرد دانه، غلاف و زیست توده به ترتیب  $0.161 \pm 0.099$ ،  $0.223 \pm 0.0454$ ،  $0.106 \pm 0.0304$  و  $0.172 \pm 0.047$  درصد شد، در حالی که در سال دوم به ترتیب  $0.195 \pm 0.0349$ ،  $0.104 \pm 0.0247$  درصد بود. شاخص تواافق ویلموت (d) برای عملکرد دانه، غلاف و زیست توده در سال‌های مورد مطالعه از  $0.872 \pm 0.939$  درصد و برای بهره‌وری مصرف آب مبتنی بر عملکرد دانه، غلاف و زیست توده از  $0.766 \pm 0.970$  تا  $0.766 \pm 0.970$  درصد متغیر بود که نزدیک بودن این شاخص به عدد یک، نشان‌دهنده قابل اطمینان بودن مقادیر شبیه‌سازی شده است.

**نتیجه‌گیری:** بهطور کلی بر اساس نتایج آماری، شبیه‌سازی عملکرد دانه، غلاف و زیست توده تحت تأثیر نیازهای مختلف آبیاری و سطوح متفاوت کود نیتروژن، قابل قبول بود و بمنظر می‌رسد استفاده از مدل به عنوان ابزاری راهگشا جهت پشتیبانی پژوهش‌های علمی و ارتقاء تصمیم‌گیری‌ها در مدیریت مصرف آب در سویا در منطقه مورد مطالعه قابل توصیه می‌باشد.

**کلید واژه‌ها:** رقم ویلیامز، زیست توده، عملکرد، کود، نیاز آبی

### نشریه حفاظت منابع آب و خاک

#### آدرس تارنما:

<https://wsrjc.srbiau.ac.ir>

#### پست الکترونیک:

<iauwsrjc@srbiau.ac.ir>

<iauwsrjc@gmail.com>

#### سال چهاردهم

#### شماره ۱ (۵۳)

#### تاریخ دریافت:

۱۴۰۲/۰۹/۲۶

#### تاریخ پذیرش:

۱۴۰۳/۰۱/۲۰

#### صفحات: ۱-۱۵

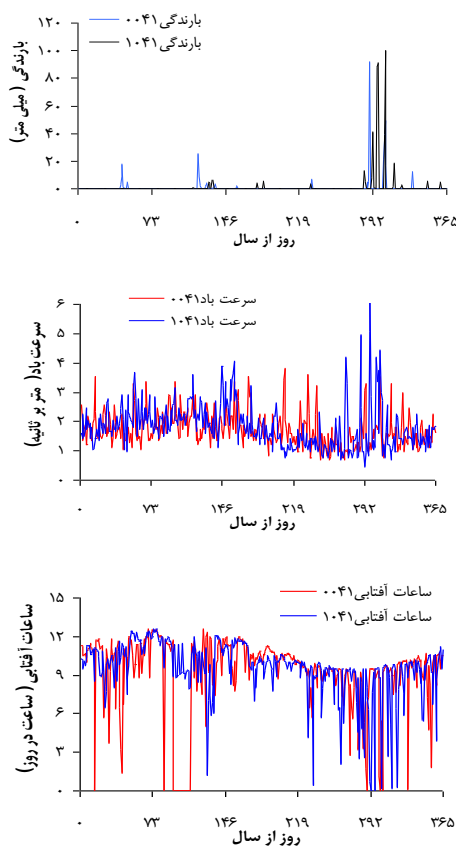
## مقدمه

۵۰ تا ۶۰ درصد نیاز نیتروژن سویا با تثبیت بیولوژیکی برآورده می‌شود (Mourtzinis et al., 2018). سویا به دلیل محتوای پروتئین بالا در دانه، به میزان زیادی نیتروژن نیاز دارد و کاربرد نیتروژن عمده‌اً بر عملکرد محصول تأثیر می‌گذارد. تهیه اطلاعات جدید به وسیله روش‌های تحقیقات زراعی سنتی برای تأمین نیازهای کشاورزی کفایت نمی‌کند. از طرفی آزمایشات زراعی مرسوم در زمان و مکان ویژه‌ای اجرا شده که نتایج آن را ویژه مکان و فصل خاصی قرار داده و نیز این آزمایشات زمان بر و پرهزینه هستند. از این‌رو بهره‌گیری از مدل‌های کشاورزی می‌تواند مفید واقع شود. در حال حاضر استفاده از مدل‌های رشد محصول<sup>۱</sup> و شبیه‌سازی‌ها بخوبی پذیرفته شده و این مطلب مستلزم آن است که کالیبراسیون در مزرعه برای آزمایش Boote et al. 2017 محصول در زمینه‌های اقلیمی خاص انجام شود (DSSAT<sup>۲</sup>; Maiorano et al. 2017; D'Amour et al. 2016). مدل پشتیبانی تصمیم برای انتقال فناوری کشاورزی، شامل مجموعه‌ای از برنامه‌های مستقل است که همانگ با یکدیگر عمل می‌کنند هدف از ساخت این مدل، توانایی آنالیز سیستم‌ها و شبیه‌سازی، به منظور ارزیابی درآمد و ریسک، از طریق تغییر استراتژی‌های مدیریتی در نقاط مختلف و شرایط محیطی مختلف بود (Singh, et al., 1991). قبل از ارائه مدل DSSAT<sup>۳</sup> سازندگان آن به طور جداگانه در تهیه و به کارگیری مدل‌های CERES برای گندم (Ritchie and Otter, 1985) و SOYGRO برای ذرت (Jones and Kiniry, 1986)، مدل PNUTGRO برای سویا (Wilkerson et al., 1983) و PNUTGRO برای بادام‌زمینی (Boote et al., 1986) مشغول بودند. در آن زمان مدل‌های ذکر شده از نظر روش‌ها و ورودی و خروجی داده‌ها تفاوت‌های بسیاری با یکدیگر داشتند. جی. دبیلیو. جونز<sup>۴</sup> و کی. جی. بوت<sup>۵</sup> از دانشگاه فلوریدا از بیشگامان ساخت این مدل بوده‌اند. مدل CSM-CROPGRO-Soybean یکی از قوی‌ترین و گسترده‌ترین مدل‌هایی است که برای شبیه‌سازی محصول سویا استفاده می‌شود (Boote et al., 1998). این مدل دارای ساختار ترکیبی است (Jones et al., 2001; Godwin and Allan, 1991; Ritchie and Singh, 1998)؛ تعادل آب خاک (Godwin and Singh, 1998؛ Silva et al., 2021) توانایی شبیه‌سازی بهره‌وری Dias et al., 2020؛ Edreira et al., 2018؛ Er-Raki et al., 2020؛ Timsina et al., 2008) و رشد و توسعه سویا (Boote et al., 1998؛ Bhatia et al., 2008) و تولید Adhikari et al., 2015؛ Antolin et al., 2021؛ Bao et al., 2015؛ Quansah et al., 2020؛ Souza et al., 2019) محصول تحت شرایط تغییرات آب و هوایی (Kahraman et al., 2017؛ Tyagi et al., 2017؛ Biel et al., 2017) گزارش‌ها نشان داد که افزودن آبیاری در دوره پر شدن دانه، پتانسیل عملکرد را نسبت به شرایط بدون محدودیت آب،

با توجه به افزایش جمعیت در جهان و مصرف مواد غذایی، در دهه‌های آینده تقاضا برای محصولات کشاورزی با افزایش Clark and Tilman, 2019 بین ۵۰ تا ۱۰۰ درصد متصور است (Searchinger et al., 2017؛ Marchand et al., 2016؛ D'Amour et al., 2016) مبنی پروتئین غذایی و یکی از مهمترین دانه‌های روغنی در جهان می‌باشد که در حال حاضر برای امنیت غذایی بسیار مهم است (Thomson, 2019). این گیاه ششمین محصول کشاورزی کشت شده در جهان است که طی سال‌های ۲۰۰۶ تا ۲۰۱۳، ایالات متحده آمریکا، برباد و آرژانتین کشورهای اصلی تولیدکننده سویا بودند که تولید سویای آن‌ها به ترتیب برابر با ۷۰ و ۸۰ درصد کل سطح برداشت و کل تولید در جهان بود (FAOSTAT, 2016).

آبیاری درصد زیادی از مصرف آب شیرین را مصرف می‌کند. با این حال، نیاز به آبیاری به سرعت افزایش یافته است که عمدتاً به دلیل کمبود شدید بارش و افزایش دمای هوا ناشی از تغییرات شرایط آب و هوایی است. زمانی که سویا در خاک‌هایی که با کمبود دائمی آب یا دوره‌ای رشد می‌کند، با آبیاری می‌توان عملکرد و حاشیه سود سویا را به طور قابل توجهی افزایش داد (Montoya et al., 2017). پاسخ سویا به کمبود آب عمدتاً در شرایط خشک یا نیمه خشک در بسیاری از آزمایشات Montoya et al., 2017 مورد مطالعه قرار گرفته است (Lich et al., 2013). کمبود آب در خاک برای دوره‌های کوتاه مدت در طول مرحله رویشی عموماً باعث کاهش عملکرد سویا نمی‌شود، با این حال، کمبود آب شدید یا طولانی مدت می‌تواند منجر به کاهش عملکرد دانه سویا شود (Montoya et al., 2013). سویا در مرحله زایشی بیشترین حساسیت را نسبت به کاهش عملکرد بالقوه در طول کمبود آب نشان می‌دهد، در حالی که کمبود در مرحله گلدهی تأثیر منفی کمی بر عملکرد دارد (Lich et al., 2013). با این حال، کمبود آب در طول مراحل بزرگ شدن غلاف و پر کردن بذر اثر منفی قابل توجهی بر عملکرد نهایی و Lich et al., 2013؛ Montoya et al., 2013) اجزای عملکرد دارد (2017). یکی از عناصر ضروری برای رشد و نمو سویا، نیتروژن است. از آنجایی که سویا مقدار نسبتاً زیادی از مواد مغذی ضروری در خاک را مصرف می‌کند، باید در مناطقی با محتوای مواد مغذی کافی پرورش داده شود (Biel et al., 2017؛ Tyagi et al., 2017؛ Kahrman et al., 2017). نیاز نیتروژن سویا به طور کلی با تثبیت بیولوژیکی نیتروژن به علاوه جدب نیتروژن از خاک برآورده می‌شود. گزارش شده است که

۱۲۰، ۸۰ و ۱۰۰ درصد نیاز آبی و عامل فرعی مقادیر کود نیتروژن شامل صفر، ۵۰، ۱۰۰ و ۲۰۰ کیلوگرم بر هکتار بود. پارامترها هواشناسی و خصوصیات خاک منطقه مورد مطالعه به ترتیب در شکل (۱) و جدول (۱) ارائه شد. رقم کشت شده سویا در این پژوهش ویلیامز بود. زمان شخم برای هر دو سال، در اواسط اردیبهشت و تاریخ کاشت سویا ۳۰ اردیبهشت-ماه و در عمق ۳ سانتی‌متری خاک بود. قبل از کشت نیز، بذر در قارچ‌کش کربوکسین تیرام به نسبت دو در هزار ضعفونی شد. بر اساس آزمون خاک، در ابتدای فصل کشت، ۵۰ کیلوگرم کود سوپرفسفات تریپل و ۱۲۰ کیلوگرم کود سولفات‌پتابسیم استفاده گردید. میزان مصرف کود نیتروژن به صورت تقسیط در سه نوبت به خاک داده شد. در سال دوم، تکرارهای اصلی و فرعی تقریباً در مکان کرت‌های سال اول قرار گرفتند. روش آبیاری به‌کارگیری شده در این تحقیق از نوع آبیاری جویچه‌ای و فاصله بین دو ردیف ۵۰ سانتی‌متر و فاصله بین گیاه در هر ردیف ۵ سانتی‌متر بود.

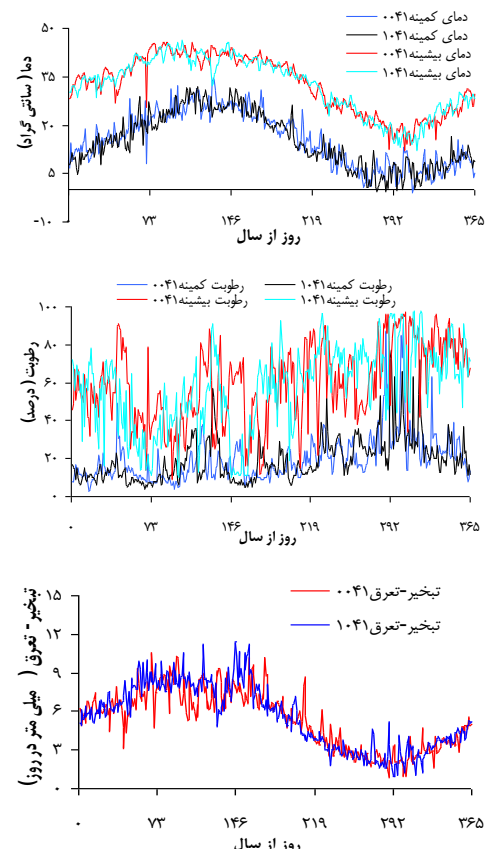


شکل ۱. پارامترها هواشناسی منطقه مورد مطالعه در سال‌های ۱۴۰۱ و ۱۴۰۰

افزایش می‌دهد، اگرچه میزان عملکرد شبیه‌سازی شده با کمبود آبیاری کاهش می‌یابد، ولی آب تنها عامل محدودکننده برای عملکرد نیست (Boulch et al., 2021). هدف از این تحقیق، ارزیابی مدل DSSAT در شبیه‌سازی عملکرد و بهره‌وری مصرف آب در گیاه سویا تحت شرایط مدیریت آبیاری و کود نیتروژن می‌باشد.

## مواد و روش‌ها

**روش اجرای پژوهش و تیمارهای مورد مطالعه**  
پژوهش حاضر در استان هرمزگان و در شهرستان حاجی‌آباد با عرض جغرافیایی ۵۵ درجه و ۵۵ دقیقه و طول جغرافیایی ۲۸ درجه و ۱۸ دقیقه با ارتفاع متوسط ۱۱۹۶ متر از سطح دریا، در سال‌های زراعی ۱۴۰۰ و ۱۴۰۱ انجام شد. هر واحد آزمایشی دارای ابعاد ۲۰×۵ متر و دارای ۱۰ ردیف کشت بود. آزمایش به صورت طرح کرت‌های خرد شده در قالب طرح بلوك کامل تصادفی در ۳ تکرار که شامل عامل اصلی بدون آبیاری و تامین



جدول ۱. خصوصیات خاک مورد مطالعه در مزرعه آزمایشی

سال (سانتی‌متر)	عمق خاک (dS/m)	هدایت الکتریکی	کربن آلی (%)	نیتروژن کل (%)	فسفر قابل جذب (mg/kg)	پتانسیم قابل جذب (mg/kg)	رس (%)	سیلت (%)	شن (%)	بافت خاک	ظرفیت نقطه پی‌مردگی زراعی (%)	رطوبت حجمی (%)
۱۴۰۰	۳۰-۰	۱/۹	۰/۴۸۴	۰/۰۳۱	۴/۰۳	۱۰۵	۸	۳۲	۶۰	لومی‌شنی	۱۸/۱	۷
۶۰-۳۰	۱/۸	۰/۰۲۹	۰/۰۳۵	۳/۳۶	۱۳۱	۳۵	۱۰	۳۵	۵۵	لومی‌شنی	۲۰/۲	۸/۱
۱۴۰۱	۳۰-۰	۲/۰	۰/۰۵۳۶	۰/۰۹۱	۱۰۷	۱۰۷	۸	۳۲	۶۰	لومی‌شنی	۱۸/۱	۷
۶۰-۳۰	۱/۹	۰/۰۴۳۲	۰/۰۸۹	۴/۰۲	۱۳۵	۳۵	۱۰	۳۵	۵۵	لومی‌شنی	۲۰/۲	۸/۱

وزن مخصوص ظاهری در عمق ۰ تا ۳۰ سانتی‌متر مترمکعب و در عمق ۳۰ سانتی‌متر برابر با ۱/۴۶ گرم بر سانتی‌مترمکعب بود.

ترتیب میزان بهره‌وری مصرف آب مبتنی بر عملکرد دانه، غلاف و زیست توده (کیلوگرم بر متر مکعب) می‌باشد.

#### داده‌های مورد نیاز مدل

مدل DSSAT رشد، توسعه و عملکرد را بر اساس تجمع خاک-گیاه-امسفر برآورد می‌کند و برای هر لایه خاک، جذب آب توسط ریشه و جریان آب در خاک شیوه‌سازی انجام می‌شود. این مدل یک پروفیل خاک را با لایه‌های افقی متفاوت در شرایط ظرفیت نگهداری و تراکم ریشه در نظر می‌گیرد (White and Hoogenboom, 2010) (دیگر مقاله در اینجا معرفی شده است). این روش روش پنمن ماننتیث فائز-۵۶ (Allen et al. 1998) و یا روش پریستلی-تیلور<sup>۱</sup> و با استفاده از داده‌های آب و هوایی و شرایط کانونی گیاه محاسبه می‌شود. داده‌ها و اطلاعات مورد نیاز برای اجرای مدل شامل موقعیت مکانی، اطلاعات هواشناسی، اطلاعات خاک‌شناسی و عملیات زراعی می‌باشد.

#### شاخص‌های آماری در ارزیابی مدل

بررسی نتایج مدل با استفاده از ترکیب روش‌های گرافیکی و آماری انجام شد. مقایسه مقادیر و پراکنش داده‌های شیوه‌سازی و اندازه‌گیری شده با نمودار و خط ۱:۱ نشان داده شد. برای مقایسه آماری بین نتایج، از شاخص‌های آماری موجود در روابط (۵ تا ۱۰) استفاده شد.

$$MRE = \frac{M_i - S_i}{M_i} \times 100 \quad (۵)$$

$$RMSE = \left( \sum_{i=1}^n (S_i - M_i)^2 / n \right)^{0.5} \quad (۶)$$

$$MBE = \frac{1}{n} \sum_{i=1}^n (S_i - M_i) \quad (۷)$$

$$RMSE_n = \left[ \left( \sum_{i=1}^n (S_i - M_i)^2 / n \right)^{0.5} / \bar{M} \right] \times 100 \quad (۸)$$

$$d = 1 - \frac{\sum_{i=1}^n (S_i - M_i)^2}{\sum_{i=1}^n (|S_i - \bar{M}| + |M - \bar{M}|)^2} \quad (۹)$$

$$EF = 1 - \frac{\sum_{i=1}^n (M_i - S_i)^2}{\sum_{i=1}^n (M_i - \bar{M})^2} \quad (۱۰)$$

که در آن،  $M$ ،  $S$ ،  $\bar{S}$  و  $n$  به ترتیب مقادیر اندازه‌گیری شده، شیوه‌سازی شده، میانگین مقادیر اندازه‌گیری شده،

#### مدیریت آبیاری و بهره‌وری مصرف آب

برای تعیین تیمارهای آبیاری از تخلیه رطوبتی خاک استفاده گردید و نیاز آبی گیاه به عنوان تیمار ۱۰۰ درصد آبیاری در نظر گرفته شد و سایر تیمارهای آبیاری به عنوان درصدی از این مقدار بود. برای دستیابی به تیمار ۱۰۰ درصد آبیاری، رطوبت خاک در عمق ریشه گیاه، به نحوی محاسبه گردید که رطوبت خاک تا عمق ریشه به حد ظرفیت مزرعه برسد (رابطه ۱). مدت زمان آبیاری بر اساس رسیدن آب به جبهه رطوبتی در اطراف عمق ریشه گیاه بود.

که در آن  $d_{FC}$  درصد وزنی رطوبت در ظرفیت زراعی،  $d_B$  درصد وزنی رطوبت موجود در خاک،  $D_r$  عمق مؤثر ریشه (سانتی‌متر)،  $D_t$  عمق مؤثر ریشه (گرم بر سانتی‌مترمکعب). تعیین رطوبت لایه‌های مختلف خاک به روش وزنی انجام شد. اندازه‌گیری میزان آب تحویلی به هر واحد آزمایشی توسط کنتور انجام گرفت. پس از رسیدگی گیاه، اقدام به اندازه‌گیری عملکرد و بهره‌وری مصرف آب شد. برای اجرای صحیح نمونه-برداری و حذف اثرات حاشیه‌ای، بوته‌های ردیف کناری و نیز بوته‌های واقع شده در ابتدا و انتهای کرتها در نظر گرفته نشدند. برای تعیین عملکرد بیولوژیک، غلاف و دانه، ۱۲ بوته به طور تصادفی انتخاب گردید. سپس غلافها، برگ‌ها و ساقه‌ها از گیاه جدا گشته و در داخل آون و در دمای ۷۰ درجه سانتی-گراد به مدت ۴۸ ساعت گذاشته شدند. بعد از خشک شدن، نمونه‌ها به وسیله ترازوی دقیق یک صدم، وزن و سپس به واحد کیلوگرم در هکتار تبدیل گردید. بهره‌وری مصرف آب بر اساس Babazadeh and Sarai (Tabrizi, 2012) روابط (۲ تا ۴) محاسبه شد.

$$WP_{seed} = \frac{Y_{seed}}{WU} \quad (۲)$$

$$WP_{pod} = \frac{Y_{pod}}{WU} \quad (۳)$$

$$WP_{bio} = \frac{Y_{bio}}{WU} \quad (۴)$$

که در آن  $WU$ ، میزان آب مصرفی (میلی‌متر) و مقادیر  $Y_{seed}$ ،  $Y_{pod}$  و  $Y_{bio}$  به ترتیب عملکرد دانه، غلاف و زیست توده (کیلوگرم بر هکتار) و مقادیر  $WP_{seed}$ ،  $WP_{pod}$  و  $WP_{bio}$  به

آبی، میزان عملکرد زیست‌توده، دانه و غلاف با خطای کمی همراه بود که نشان دهنده روند تغییرات عملکرد در نیازهای مختلف آبی و سطوح متفاوت کودی در شبیه‌سازی می‌باشد. با افزایش تنفس آبی و شرایط کم‌آبیاری تا سطح ۴۰ درصد نیاز آبی، مدل توانسته عملکردها را با تقریب مناسبی برآورد نماید. اما با افزایش تنفس و در حالت بدون آبیاری، مدل قادر به شبیه‌سازی مناسبی از مقادیر عملکرد نمی‌باشد. ولی با این رویکرد، میزان خطای نسبی برای عملکرد زیست‌توده در سال ۱۴۰۰ و ۱۴۰۱ به ترتیب ۳ و ۲ درصد بود که بهترین میزان خطای نسبی را نشان داد (جدول ۳). عوارض کم‌آبی در زمان رشد رویشی به صورت رشد کم برگ‌ها، قطر کم‌ساقه و کوتاهی ارتفاع بوته ظاهر می‌شود که نتیجه آن کاهش اندام هوایی است. در پژوهشی نشان داده شد که کم‌آبی موجب کاهش برگ، فتوسنتر و تجمع ماده خشک می‌شود که در نهایت زیست‌توده یا عملکرد بیولوژیکی را کاهش می‌دهد (Abdzad Gohari and Babazadeh, 2023). در بیش‌آبیاری و در تیمار ۱۲۰ درصد نیاز آبی با مصرف کودی ۱۵۰ کیلوگرم نیتروژن در هکتار، میزان خطای نسبی در سال ۱۴۰۰ به ترتیب ۶ و ۶-درصد و در سال ۱۴۰۱ به ترتیب ۸ و ۷-درصد بود که نشان دهنده برآورد ایده‌آل مدل در شرایط بیش‌آبیاری بود (جدول ۳ و ۴). مصرف مناسب آب و کود نیتروژن، باعث افزایش عملکرد در نتیجه افزایش بهره‌وری مصرف آب می‌شود. استفاده از نیتروژن باعث عمیق‌تر شدن سیستم ریشه‌ای و افزایش بهره‌وری از آب می‌شود. این مطلب علاوه بر سویا، در سایر گیاهان نیز صادق است (Yousefi et al., 2002; Majidian and Ghadiri, 2011). در شرایط بدون آبیاری یا توجه به این که میزان آب مصرفی گیاه کمتر بود، اما بهره‌وری مصرف آب بالاتر را داشت که این امر به علت مصرف آب زیاد گیاه تحت شرایط آبیاری است.

میانگین مقادیر شبیه‌سازی شده و تعداد مقادیر اندازه‌گیری شده است. در ارزیابی عملکرد شبیه‌سازی و اندازه‌گیری شده، باید مقادیر میانگین خطای نسبی (MRE)<sup>۷</sup>، ریشه میانگین مرباعات خطای (RMSE)<sup>۸</sup> و میانگین انحراف خطای (MBE)<sup>۹</sup> به صفر نزدیک باشند (Willmott, 1982; Singh et al., 2008). اگر ریشه میانگین مرباعات خطای نسبی (RMSE<sub>n</sub>)<sup>۱۰</sup> کمتر از ۱۰ درصد باشد شبیه‌سازی عالی، بین ۱۰ تا ۲۰ درصد خوب، بین ۲۰ تا ۳۰ درصد متوسط و بالاتر از ۳۰ درصد، ضعیف می‌باشد (Jamieson et al., 1991 ; Yang et al., 2014) شاخص توافق یا سازگاری (d or IoA)<sup>۱۱</sup> و ضریب کارایی (EF)<sup>۱۲</sup> به ۱ نزدیکتر باشند، نشان دهنده شبیه‌سازی بهتر مدل است (Willmott, 1982; Singh et al., 2008).

## نتایج و بحث

### ارزیابی مدل DSSAT

نتایج نشان داد که مقادیر آب مصرفی در تیمارهای ۴۰، ۶۰، ۸۰، ۱۰۰ و ۱۲۰ درصد نیاز آبی در سال به ترتیب ۱۴۰۰، ۵۳۳، ۴۴۴، ۳۵۴، ۲۶۵ و ۶۲۲ میلی‌متر و در سال ۱۴۰۱ به ترتیب ۴۳۵، ۳۴۷، ۲۵۹ و ۵۴۱ میلی‌متر بود. در مدل حاضر، عملکرد دانه، غلاف و زیست‌توده و مقادیر بهره‌وری مصرف آب مبتنی زیست‌توده، غلاف و دانه در تیمارهای مختلف آبیاری و کود نیتروژن بررسی شد. ضرایبی که پارامترهای اندازه‌گیری شده و واسنجی شده در گیاه سویا را در مدل تعریف می‌کنند، در جدول (۲) ارائه شده است.

با توجه به نتایج، بیشترین عملکرد دانه، غلاف و زیست‌توده در تیمار ۱۰۰ درصد نیاز آبی و سطح ۱۵۰ کیلوگرم نیتروژن در هکتار در سال ۱۴۰۰ به ترتیب با ۴۹۷۲، ۳۰۶۸ و ۷۲۱۹ کیلوگرم در هکتار و در سال ۱۴۰۱ به ترتیب با ۴۹۱۰، ۳۰۲۹ و ۷۱۲۸ به دست آمد (جدوال ۳ و ۴). با تأمین ۱۰۰ درصد نیاز

جدول ۲ پارامترهای اندازه‌گیری شده و واسنجی شده در گیاه سویا

تعريف ضرایب	مقادیر	واحد	منابع پارامترها
زمان بین رویش گیاه و ظهرور گل (R <sub>1</sub> )	۱۶/۵	(photothermal days)	واسنجی
زمان بین اولین گل و اولین غلاف (R <sub>3</sub> )	۷/۰	(photothermal days)	واسنجی
زمان بین اولین گل و اولین دانه (R <sub>5</sub> )	۱۲/۵	(photothermal days)	واسنجی
زمان بین اولین دانه (R <sub>5</sub> ) و بلوغ فیزیولوژیکی (R <sub>7</sub> )	۲۵/۰	(photothermal days)	واسنجی
زمان بین اولین گل (R <sub>1</sub> ) و انتهای انبساط برگ	۱۸/۰	(photothermal days)	پیش فرض
سطح برگ خاص رقم در شرایط رشد استاندارد	۴۰۰	(cm <sup>2</sup> /g)	اندازه‌گیری شده
حداکثر اندازه برگ کامل	۱۵۰	(cm <sup>2</sup> )	اندازه‌گیری شده
حداکثر وزن در هر دانه	۱/۰	-	پیش فرض
مدت پر شدن بذر برای گروه غلاف در شرایط رشد استاندارد	۰/۱۵۵	(g)	اندازه‌گیری شده
میانگین بذر در هر غلاف در شرایط رشد استاندارد	۲۳	(photothermal days)	اندازه‌گیری شده
زمان موردنیاز رقم برای رسیدن به بار نهایی غلاف در شرایط بهینه	۱/۰	-	اندازه‌گیری شده
حداکثر نسبت (دانه/(دانه+پوسته)) در بلوغ	۷/۵	(photothermal days)	واسنجی
	۷۸/۰	-	اندازه‌گیری شده

باشد (Wright, 1996). بهره‌وری مصرف آب سویا بر مبنای عملکرد زیست توده با میانگین ۱/۱۱ کیلوگرم بهازای مصرف هر مترمکعب آب برآورد شد (Karam et al, 2005). در پژوهشی بر گیاه سویا، میزان بهره‌وری مصرف آب در شرایط آبیاری را تحقیقی دامنه نوسان بهره‌وری مصرف آب در عملکرد دانه سویا در شرایط تنفس و آبیاری کامل در محدوده ۰/۵۵ تا ۱/۱۴ کیلوگرم بر مترمکعب گزارش شد (Das, 2003). در حالت آبیاری کامل بهره‌وری مصرف آب از ۲/۴۴ تا ۱/۶۶ کیلوگرم ماده خشک بهازای هر گرم آب تعرق شده متغیر می-

دلیل بالا بودن بهره‌وری مصرف آب در شرایط بدون آبیاری، مصرف آب کمتر توسط گیاه می‌باشد و علت بالاتر بودن عملکرد غلاف تحت شرایط بدون آبیاری را می‌توان به تحمل بیشتر گیاه نسبت به تنفس آبی ربط داد. در این پژوهش محدوده بهره‌وری مصرف آب مبتنی بر عملکرد دانه در شرایط بدون آبیاری برای دو سال از ۱/۵۶ تا ۲/۷۰ کیلوگرم بر مترمکعب متغیر بود (جدول ۴). در پژوهشی نشان داده شد که در ارقام مختلف سویا در حالت آبیاری کامل بهره‌وری مصرف آب از ۲/۴۴ تا ۱/۶۶ کیلوگرم ماده خشک بهازای هر گرم آب تعرق شده متغیر می-

جدول ۳. درصد خطای نسبی و مقادیر عملکرد زیست توده، غلاف و دانه در شرایط شبیه‌سازی و مشاهدهای

عملکرد اندازه‌گیری شده (کیلوگرم بر هکتار)												درصد خطای نسبی عملکرد												
دانه			غلاف			دانه			غلاف			دانه			غلاف			دانه			غلاف			
۱	۲	۳	۴	۵	۶	۷	۸	۹	۱۰	۱۱	۱۲	۱۳	۱۴	۱۵	۱۶	۱۷	۱۸	۱۹	۲۰	۲۱	۲۲	۲۳	۲۴	۲۵
۲	۳	-۲۹	-۲۴	-۱۰	-۵	۳۴۲۴	۲۵۴۳	۱۵۳۹	۱۶۷۳	۱۲۰۱	۱۲۷۹	۲۳۸۱w	۲۴۳۰v	۲۱۶۸s	۲۲۰۰q	۱۳۳۱۰	۱۳۵۰s	I <sub>1</sub> N <sub>1</sub>						
-۱۹	-۱۸	-۴۵	-۴۲	-۲۹	-۲۶	۳۴۲۵	۳۵۰۲	۱۵۴۰	۱۶۴۴	۱۲۰۲	۱۲۷۵	۴۲۵۷u	۴۳۰۱t	۲۷۸۳q	۲۸۲۳۰	۱۷۰۳m	۱۷۲۸q	I <sub>1</sub> N <sub>2</sub>						
-۲۰	-۱۸	-۴۵	-۴۲	-۳۰	-۲۷	۳۴۵۸	۳۵۷۵	۱۵۷۱	۱۶۶۷	۱۲۲۶	۱۲۹۵	۴۳۰۴t	۴۳۶۲v	۲۸۵۲p	۲۸۹۲۰	۱۷۴۹m	۱۷۷۳q	I <sub>1</sub> N <sub>3</sub>						
-۲۸	-۲۶	-۵۰	-۴۷	-۳۷	-۳۳	۳۴۱۹	۳۵۹۲	۱۵۶۶	۱۶۸۳	۱۲۱۶	۱۳۱۱	۴۷۸۵q	۴۸۲۳q	۳۱۵۲m	۳۱۹۸m	۱۹۳۶k	۱۹۶۳o	I <sub>1</sub> N <sub>4</sub>						
-۲۶	-۲۳	-۴۸	-۴۴	-۳۴	-۲۹	۳۳۸۷	۳۵۹۳	۱۵۶۲	۱۶۸۱	۱۲۱۵	۱۳۱۲	۴۵۹۲r	۴۶۴۹s	۲۹۸۷v	۳۰۲۴n	۱۸۳۷l	۱۸۶۰p	I <sub>1</sub> N <sub>5</sub>						
۱۷	۱۷	۱۰	۱۱	۲۸	۲۹	۴۶۳۵	۴۶۹۴	۲۸۱۰	۲۸۶۷	۲۰۰۳	۲۰۳۴	۳۹۶۲v	۴۰۱۶u	۲۵۴۵r	۲۵۷۹p	۱۵۶۰n	۱۵۸۱r	I <sub>2</sub> N <sub>1</sub>						
-۱	-۱	-۷	-۴	۷	۷	۴۷۱۴	۴۷۷۵	۲۸۵۷	۲۹۱۶	۲۰۳۷	۲۰۷۲	۴۷۵۵q	۴۸۲۹q	۳۰۸۲n	۳۰۳۱n	۱۹۰۲k	۱۹۳۲o	I <sub>2</sub> N <sub>2</sub>						
-۱	-۱	-۹	-۹	۶	۶	۴۷۷۲	۴۸۳۳	۲۹۰۰	۲۹۵۷	۲۰۷۲	۲۱۰۳	۴۸۲۴p	۴۹۰۶p	۳۱۸۷m	۳۲۴۱l	۱۹۶۰k	۱۹۹۳o	I <sub>2</sub> N <sub>3</sub>						
-۸	-۸	-۱۵	-۹	-۱	-۱	۴۸۴۱	۴۹۰۵	۲۹۵۴	۳۰۱۸	۲۱۱۴	۲۱۵۱	۵۲۸۰n	۵۳۵۴n	۳۴۷۱k	۳۳۲۰k	۲۱۴۵i	۲۱۷۵m	I <sub>2</sub> N <sub>4</sub>						
-۵	-۵	-۱۰	-۹	۴	۴	۴۸۶۵	۴۹۲۵	۲۹۷۱	۳۰۳۲	۲۱۲۵	۲۱۶۰	۵۱۷۹o	۳۳۰۱l	۳۳۴۷k	۲۰۴۳j	۲۰۷۲n	I <sub>2</sub> N <sub>5</sub>							
۲۰	۱۱	۲۱	۸	۴۱	۱۹	۵۰۹۹	۵۲۹۹	۳۴۸۱	۳۴۸۱	۲۴۹۲	۲۴۹۲	۴۴۱۷s	۴۷۹۵r	۲۸۸۷v	۳۲۳۸l	۱۷۶۷m	۲۰۹۸n	I <sub>3</sub> N <sub>1</sub>						
۳	۱	۲	۱	۱۹	۱۷	۵۴۲۹	۵۴۲۹	۳۵۵۰	۳۵۵۰	۲۵۵۴	۲۵۵۴	۵۲۸۱m	۵۳۶۵m	۳۴۶۸k	۳۵۲۱j	۲۱۴۵i	۲۱۸۰m	I <sub>3</sub> N <sub>2</sub>						
۳	۱	۱	۰	۱۸	۱۶	۵۳۷۴	۵۳۷۴	۳۵۳۵	۳۵۳۵	۲۵۴۴	۲۵۴۴	۵۲۲۸n	۵۳۰۳n	۳۴۹۶k	۳۵۳۹j	۲۱۶۱i	۲۱۸۷m	I <sub>3</sub> N <sub>3</sub>						
-۵	-۶	-۶	-۸	۹	۸	۵۵۲۲	۵۵۲۲	۳۶۴۹	۳۶۴۹	۲۶۲۴	۲۶۲۴	۵۸۲۴j	۵۹۰۴j	۳۸۹۴i	۳۹۴۷h	۲۴۰۲g	۲۴۳۵k	I <sub>3</sub> N <sub>4</sub>						
-۲	-۴	-۲	-۳	۱۴	۱۳	۵۵۸۱	۵۵۸۱	۳۶۸۷	۳۶۸۷	۲۶۴۲	۲۶۴۲	۵۶۹۱l	۵۷۸۰i	۳۷۵۳j	۳۸۱۲i	۲۲۳۱h	۲۲۴۸l	I <sub>3</sub> N <sub>5</sub>						
۱۶	۱۴	۱۹	۱۷	۳۶	۲۲	۵۵۲۸	۵۵۳۸	۳۷۴۶	۳۷۴۸	۲۶۴۵	۲۶۴۷	۴۷۷۶q	۴۸۱۴q	۳۱۶۰m	۳۲۰۳l	۱۹۴۱k	۲۱۶۷m	I <sub>4</sub> N <sub>1</sub>						
-۱	-۲	۰	-۱	۱۵	۱۳	۵۶۷۹	۵۶۷۹	۳۸۲۵	۳۸۲۷	۲۷۰۷	۲۷۰۸	۵۷۹۰k	۵۷۸۷i	۳۸۲۹i	۳۸۸۲i	۲۳۵۵h	۲۳۸۷l	I <sub>4</sub> N <sub>2</sub>						
-۲	-۴	-۳	-۴	۱۲	۱۰	۵۶۳۱	۵۶۳۱	۳۸۱۷	۳۸۱۷	۲۷۰۲	۲۷۰۲	۵۷۶۳k	۵۸۴۶k	۳۹۱۸i	۳۹۷۸h	۲۴۱۳g	۲۴۴۸j	I <sub>4</sub> N <sub>3</sub>						
-۹	-۱۰	-۱۰	-۱۲	۴	۳	۵۷۸۳	۵۷۸۲	۳۹۰۹	۳۹۰۵	۲۷۷۴	۲۷۷۰	۶۴۲۸g	۶۴۳۹f	۴۲۵۰e	۴۴۱۲e	۲۶۵۸e	۲۶۹۷h	I <sub>4</sub> N <sub>4</sub>						
-۵	-۶	-۵	-۶	۱۰	۹	۵۸۲۲	۵۸۲۲	۳۹۳۱	۳۹۳۱	۲۷۹۴	۲۷۹۴	۶۱۳۵h	۶۲۱۲h	۴۱۳۵g	۴۱۸۷g	۲۵۳۲j	۲۵۸۳j	I <sub>4</sub> N <sub>5</sub>						
-۴	-۶	-۲	-۳	۱۵	۱۴	۶۱۶۵	۶۱۶۵	۴۲۵۴	۴۲۵۴	۳۰۶۷	۳۰۶۷	۶۴۵۵f	۶۵۴۶e	۴۲۴۴e	۴۴۰۵e	۲۶۶۲e	۲۷۰۰g	I <sub>5</sub> N <sub>1</sub>						
-۴	-۵	-۲	-۳	۱۵	۱۳	۶۲۶۰	۶۲۶۰	۴۳۲۲	۴۳۲۲	۳۱۲۳	۳۱۲۳	۶۴۸۸f	۶۵۸۷e	۴۳۸۹e	۴۴۰۵e	۲۷۱۷d	۲۷۵۸f	I <sub>5</sub> N <sub>2</sub>						
-۲	-۴	-۲	-۳	۱۵	۱۴	۶۲۴۴	۶۲۴۴	۴۲۹۴	۴۲۹۴	۳۱۸۴	۳۱۸۴	۶۵۰۵e	۶۵۹۲e	۴۴۷۲d	۴۵۲۴d	۲۷۶۴d	۲۸۰۲d	I <sub>5</sub> N <sub>3</sub>						
-۱۰	-۱۱	-۹	-۱۱	۷	۵	۶۴۰۵	۶۴۰۵	۴۴۴۸	۴۴۴۸	۳۲۲۱	۳۲۲۱	۷۱۲۸a	۷۲۲۱q	۴۹۱۰a	۴۹۷۲a	۳۰۲۹a	۳۰۶۸a	I <sub>5</sub> N <sub>4</sub>						
-۸	-۹	-۶	-۷	۱۱	۱۰	۶۴۴۶	۶۴۴۶	۴۴۷۴	۴۴۷۴	۳۲۴۹	۳۲۴۹	۶۹۷۲b	۷۰۷۴b	۴۷۳۹b	۴۸۰۹b	۲۹۱۹b	۲۹۶۲b	I <sub>5</sub> N <sub>5</sub>						
۶	۳	۵	۲	۲۲	۱۹	۶۳۹۷	۶۳۴۱	۴۲۲۶	۴۱۷۴	۳۰۲۱	۳۰۰۴	۶۰۵۷i	۶۱۵۴i	۴۰۳۹h	۴۱۰۴g	۲۴۸۰g	۲۵۱۹j	I <sub>6</sub> N <sub>1</sub>						
۴	۲	۲	-۱	۱۹	۱۷	۶۳۸۰	۶۳۲۶	۴۲۲۸	۴۱۷۷	۳۰۳۲	۳۰۱۸	۶۱۴۶h	۶۲۲۲g	۴۱۵۴g	۴۲۱۲f	۲۵۵۰ff	۲۵۹۰i	I <sub>6</sub> N <sub>2</sub>						
۵	۲	۱	-۲	۱۷	۱۵	۶۴۱۳	۶۳۵۹	۴۲۲۲	۴۱۸۰	۳۰۲۹	۳۰۱۳	۶۱۲۵h	۶۲۰۶h	۴۲۰۲f	۴۲۵۷f	۲۵۸۲ff	۲۶۱۸h	I <sub>6</sub> N <sub>3</sub>						
-۴	-۶	-۷	-۹	۸	۶	۶۴۷۶	۶۴۲۳	۴۲۶۵	۴۲۱۳	۳۰۵۵	۳۰۴۰	۶۷۱۶c	۶۸۰۱c	۴۵۸۴c	۴۶۴۲c	۲۸۳۳c	۲۸۶۹c	I <sub>6</sub> N <sub>4</sub>						
-۲	-۵	-۴	-۷	۱۱	۸	۶۴۵۴	۶۴۰۰	۴۲۵۳	۴۲۰۰	۳۰۴۵	۳۰۲۸	۶۶۱۴d	۶۷۱۵d	۴۴۴۰d	۴۵۰۹d	۲۷۷۴۹d	۲۷۹۱e	I <sub>6</sub> N <sub>5</sub>						

تیمارها شامل بدون آبیاری (I<sub>1</sub>) و تامین ۴۰ (I<sub>2</sub>), ۸۰ (I<sub>3</sub>), ۱۰۰ (I<sub>4</sub>), ۱۴۰ (I<sub>5</sub>) و ۱۶۰ (I<sub>6</sub>) درصد نیاز آبی و مقادیرکود نیتروژن شامل صفر (N<sub>1</sub>), ۵۰ (N<sub>2</sub>), ۱۰۰ (N<sub>3</sub>), ۱۵۰ (N<sub>4</sub>) و ۲۰۰ (N<sub>5</sub>) کیلوگرم بر هکتار

جدول ۴. درصد خطای نسبی و مقادیر بهره‌وری مصرف آب در زیست‌توده، غلاف و دانه در شرایط شبیه‌سازی شده و مشاهده‌ای

بهره‌وری مصرف آب اندازه‌گیری شده (کیلوگرم بر هکتار)												بهره‌وری مصرف آب شبیه‌سازی شده (کیلوگرم بر هکتار)																	
خطای نسبی (درصد)						دانه						غلاف						دانه						دانه					
دانه			زیست‌توده			دانه			زیست‌توده			دانه			زیست‌توده			دانه			زیست‌توده			دانه			غلاف		
٪	٪	٪	٪	٪	٪	٪	٪	٪	٪	٪	٪	٪	٪	٪	٪	٪	٪	٪	٪	٪	٪	٪	٪	٪	٪	٪	٪	٪	
۲	۳	-۲۹	-۲۴	-۱۰	-۵	۴/۰۲	۴/۱۴	۱/۸۰	۱/۹۶	۱/۴۰	۱/۵۰	۳/۹۵e	۴/۰۱e	۲/۵۴e	۲/۵۷e	۱/۵۶d	۱/۵۸w	I <sub>1</sub> N <sub>1</sub>											
-۱۹	-۱۸	-۴۵	-۴۲	-۲۹	-۲۶	۴/۰۲	۴/۱۵	۱/۸۰	۱/۹۲	۱/۴۱	۱/۴۹	۴/۹۸d	۵/۰۵d	۲/۲۵d	۳/۳۰d	۱/۹۹d	۲/۰۲v	I <sub>1</sub> N <sub>2</sub>											
-۲۰	-۱۸	-۴۵	-۴۲	-۳۰	-۲۷	۴/۰۴	۴/۱۸	۱/۸۴	۱/۹۵	۱/۴۳	۱/۵۱	۵/۰۳c	۵/۱۰c	۳/۳۴c	۳/۳۸c	۲/۰۵c	۲/۰۷v	I <sub>1</sub> N <sub>3</sub>											
-۲۸	-۲۶	-۵۰	-۴۷	-۳۷	-۳۳	۴/۰۰	۴/۲۰	۱/۸۳	۱/۹۷	۱/۴۲	۱/۵۳	۵/۰۵ya	۵/۶۵a	۳/۶۹a	۳/۷۴a	۲/۲۶a	۲/۳۰u	I <sub>1</sub> N <sub>4</sub>											
-۲۶	-۲۳	-۴۸	-۴۴	-۳۴	-۲۹	۳/۹۶	۴/۰۲	۱/۸۳	۱/۹۷	۱/۴۲	۱/۵۳	۵/۰۳vb	۵/۴۴b	۳/۴۹b	۳/۵۴b	۲/۱۵b	۲/۱۸t	I <sub>1</sub> N <sub>5</sub>											
۱۷	۱۷	۱۰	۱۱	۲۸	۲۹	۲/۰۷	۱/۷۷	۱/۲۵	۱/۸۰	۰/۸۹	۰/۷۷	۱/۷۷j	۱/۵۲j	۱/۱۳j	۰/۷۷m	۰/۷۰i	۰/۶۰s	I <sub>2</sub> N <sub>1</sub>											
-۱	-۱	-۷	-۴	۷	۷	۱/۷۶	۱/۸۰	۱/۰۷	۱/۱۰	۰/۷۶	۰/۷۸	۱/۷۷i	۱/۸۳h	۱/۱۵i	۱/۱۵t	۰/۷۱h	۰/۷۳r	I <sub>2</sub> N <sub>2</sub>											
-۱	-۱	-۹	-۹	۶	۶	۱/۷۸	۱/۸۳	۱/۰۸	۱/۱۲	۰/۷۷	۰/۷۹	۱/۸۰h	۱/۸۵h	۱/۱۹h	۱/۲۲h	۰/۷۳g	۰/۷۵q	I <sub>2</sub> N <sub>3</sub>											
-۸	-۸	-۱۵	-۹	-۱	-۱	۱/۸۱	۱/۸۵	۱/۱۰	۱/۱۴	۰/۷۹	۰/۸۱	۱/۹۷f	۲/۰۲f	۱/۳۰f	۱/۲۵g	۰/۸۰e	۰/۸۲p	I <sub>2</sub> N <sub>4</sub>											
-۵	-۵	-۱۰	-۹	۴	۴	۱/۸۲	۱/۸۶	۱/۱۱	۱/۱۵	۰/۷۹	۰/۸۲	۱/۹۱g	۱/۹۶g	۱/۲۲g	۱/۲۶f	۰/۷۶f	۰/۷۸o	I <sub>2</sub> N <sub>5</sub>											
۲۰	۱۱	۲۱	۸	۴۱	۱۹	۱/۷۷	۱/۵۰	۱/۱۶	۰/۹۸	۰/۸۳	۰/۷۰	۱/۴۷m	۱/۳۵m	۰/۹۶m	۰/۹۱p	۰/۵۹m	۰/۵۹n	I <sub>3</sub> N <sub>1</sub>											
۳	۱	۲	۱	۱۹	۱۷	۱/۵۱	۱/۵۳	۰/۹۹	۱/۰۰	۰/۷۱	۰/۷۲	۱/۴۷m	۱/۵۲j	۰/۹۷m	۰/۹۹l	۰/۶۰l	۰/۶۲m	I <sub>3</sub> N <sub>2</sub>											
۳	۱	۱	۰	۱۸	۱۶	۱/۵۰	۱/۵۲	۰/۹۹	۱/۰۰	۰/۷۱	۰/۷۲	۱/۴۶n	۱/۵۰k	۰/۹۷m	۱/۰k	۰/۶۰l	۰/۶۲l	I <sub>3</sub> N <sub>3</sub>											
-۵	-۶	-۶	-۸	۹	۸	۱/۵۴	۱/۵۶	۱/۰۲	۱/۰۳	۰/۷۳	۰/۷۴	۱/۸۲k	۱/۸۷i	۱/۰k	۱/۱۱j	۰/۶۷j	۰/۶۹l	I <sub>3</sub> N <sub>4</sub>											
-۲	-۴	-۲	-۳	۱۴	۱۳	۱/۵۵	۱/۵۷	۱/۰۳	۱/۰۴	۰/۷۴	۰/۷۵	۱/۵۹i	۱/۶۳i	۱/۰۵l	۱/۰۸k	۰/۶۴k	۰/۶۶k	I <sub>3</sub> N <sub>5</sub>											
۱۶	۱۴	۱۹	۱۷	۳۶	۲۲	۱/۴۷	۱/۲۵	۱/۰۰	۰/۸۴	۰/۷۰	۰/۶۰	۱/۲۷t	۱/۰۹q	۰/۸۴s	۰/۷۲w	۰/۵۲o	۰/۴۹j	I <sub>4</sub> N <sub>1</sub>											
-۱	-۲	۰	-۱	۱۵	۱۳	۱/۲۶	۱/۲۸	۰/۸۵	۰/۸۶	۰/۶۰	۰/۶۱	۱/۳۷t	۱/۳۰o	۰/۸۵r	۰/۸۷r	۰/۵۲o	۰/۵۴i	I <sub>4</sub> N <sub>2</sub>											
-۲	-۴	-۳	-۴	۱۲	۱۰	۱/۲۵	۱/۲۷	۰/۸۵	۰/۸۶	۰/۶۰	۰/۶۱	۱/۲۸s	۱/۳۲no	۰/۸۷q	۰/۹۰q	۰/۵۴n	۰/۵۵h	I <sub>4</sub> N <sub>3</sub>											
-۹	-۱۰	-۱۰	-۱۲	۴	۳	۱/۲۹	۱/۳۰	۰/۸۷	۰/۸۸	۰/۶۲	۰/۶۲	۱/۴۱o	۱/۴۵l	۰/۹۷m	۰/۹۹l	۰/۵۹m	۰/۶۱h	I <sub>4</sub> N <sub>4</sub>											
-۵	-۶	-۵	-۶	۱۰	۹	۱/۲۹	۱/۳۱	۰/۸۷	۰/۸۹	۰/۶۲	۰/۶۳	۱/۳۶p	۱/۴۰l	۰/۹۲n	۰/۹۴n	۰/۵۶n	۰/۵۸gh	I <sub>4</sub> N <sub>5</sub>											
-۴	-۶	-۲	-۳	۱۵	۱۴	۱/۱۴	۱/۱۶	۰/۷۹	۰/۸۰	۰/۵۷	۰/۵۸	۱/۱۹v	۱/۲۳p	۰/۸۰v	۰/۸۳u	۰/۴۹r	۰/۵۱g	I <sub>5</sub> N <sub>1</sub>											
-۴	-۵	-۲	-۳	۱۵	۱۳	۱/۱۶	۱/۱۷	۰/۸۰	۰/۸۱	۰/۵۸	۰/۵۹	۱/۲۰u	۱/۲۴p	۰/۸۱u	۰/۸۴t	۰/۵۰q	۰/۵۲f	I <sub>5</sub> N <sub>2</sub>											
-۲	-۴	-۲	-۳	۱۵	۱۴	۱/۱۷	۱/۱۹	۰/۸۱	۰/۸۲	۰/۵۹	۰/۶۰	۱/۲۰u	۱/۲۴p	۰/۸۲t	۰/۸۵s	۰/۵۱p	۰/۵۳f	I <sub>5</sub> N <sub>3</sub>											
-۱۰	-۱۱	-۹	-۱۱	۷	۵	۱/۱۸	۱/۲۰	۰/۸۲	۰/۸۳	۰/۶۰	۰/۶۱	۱/۳۲q	۱/۳۵m	۰/۹۱o	۰/۹۳o	۰/۵۶n	۰/۵۸f	I <sub>5</sub> N <sub>4</sub>											
-۸	-۹	-۶	-۷	۱۱	۱۰	۱/۱۹	۱/۲۱	۰/۸۳	۰/۸۴	۰/۶۰	۰/۶۱	۱/۲۹t	۱/۳۳n	۰/۸۸p	۰/۹۰q	۰/۵۴n	۰/۵۶e	I <sub>5</sub> N <sub>5</sub>											
۶	۳	۵	۲	۲۲	۱۹	۱/۰۱	۱/۰۲	۰/۶۷	۰/۶۷	۰/۴۸	۰/۴۸	۰/۹۶z	۰/۹۹s	۰/۶۴z	۰/۶۶y	۰/۳۹w	۰/۴۰d	I <sub>6</sub> N <sub>1</sub>											
۴	۲	۲	-۱	۱۹	۱۷	۱/۰۱	۱/۰۲	۰/۶۷	۰/۶۷	۰/۴۸	۰/۴۸	۰/۹۷v	۱/۰۰r	۰/۶۶y	۰/۶۸x	۰/۴۰v	۰/۴۲c	I <sub>6</sub> N <sub>2</sub>											
۵	۲	۲	-۲	۱۷	۱۵	۱/۰۱	۱/۰۲	۰/۶۷	۰/۶۷	۰/۴۸	۰/۴۸	۰/۹۷v	۱/۰۰r	۰/۶۶y	۰/۶۸x	۰/۴۱u	۰/۴۲c	I <sub>6</sub> N <sub>3</sub>											
-۴	-۶	-۷	-۹	۸	۶	۱/۰۲	۱/۰۳	۰/۶۷	۰/۶۸	۰/۴۸	۰/۴۹	۱/۰۶w	۱/۰۹q	۰/۷۳w	۰/۷۵v	۰/۴۵s	۰/۴۶b	I <sub>6</sub> N <sub>4</sub>											
-۲	-۵	-۴	-۷	۴	۸	۱/۰۲	۱/۰۳	۰/۶۷	۰/۶۷	۰/۴۸	۰/۴۹	۱/۰۵x	۱/۰۸q	۰/۷۰x	۰/۷۲w	۰/۴۳t	۰/۴۵a	I <sub>6</sub> N <sub>5</sub>											

تیمارها شامل بدون آبیاری (I<sub>6</sub>) و تامین (I<sub>2</sub>)، (I<sub>4</sub>)، (I<sub>3</sub>)، (I<sub>5</sub>) و (I<sub>0</sub>)درصد نیاز آبی و مقادیر کود نیتروژن شامل صفر (N<sub>1</sub>)، (N<sub>2</sub>)، (N<sub>3</sub>)، (N<sub>4</sub>) و (N<sub>5</sub>) کیلوگرم بر هکتار

فاصله کمی تا عدد یک را نشان داد، از این‌رو مقادیر شبیه‌سازی شده حاکی از قابل اطمینان بودن نتایج دارد (جدول ۵). شاخص توافق ویلموت (d) در سال‌های مورد مطالعه برای عملکرد دانه از ۰/۳۵ تا ۰/۵۰ و برای غلاف از ۰/۲۸ تا ۰/۶۸ متغیر بود. برای بهره‌وری مصرف آب مبتنی بر عملکرد دانه، غلاف و زیست‌توده نیز این شاخص بین ۰/۲۱ و ۰/۶۸ متغیر بود که نزدیک بودن این شاخص به عدد یک، نشان‌دهنده قابل اطمینان بودن مقادیر

با توجه به جدول (۵)، ریشه میانگین مربعات خطای نسبی (RMSE<sub>n</sub>) در مدیریت آب مصرفی در سال‌های ۱۴۰۰ و ۱۴۰۱ در عملکرد دانه بین ۰/۱۱ و ۰/۳۱ بود که در این میان در شرایط بدون آبیاری ریشه میانگین مربعات خطای نسبی در سال اول ۰/۲۸ درصد و در سال دوم ۰/۳۱ درصد بود. این شاخص برای عملکرد غلاف از ۰/۰۴ تا ۰/۰۶ درصد و برای عملکرد زیست‌توده از ۰/۰۴ تا ۰/۰۶ درصد متغیر بود. شاخص ضریب کارایی (EF) برای صفات عملکرد و بهره‌وری مصرف آب،

متراکعب بود و برای بهره‌وری آب در غلاف در سال ۱۴۰۰ و ۱۴۰۱ به ترتیب  $0/030$  و  $1/491$  کیلوگرم بر متراکعب را نشان داد. در بهره‌وری آب مصرفی مبتنی بر عملکرد زیست توده در سال اول و دوم به ترتیب  $0/030$  و  $1/491$  کیلوگرم بر متراکعب بود (جدول ۵). مقادیر  $R^2$  برای تمام تیمارها، به جزء تیمار تنش بدون آبیاری، از ضریب  $R^2$  بالایی برخوردار بود (جدول ۵).

شبیه‌سازی شده است (جدول ۵). میانگین انحراف خطأ در تمام تیمارها، به غیر از تیمار تنش (بدون آبیاری) از دقت خوبی برخوردار بود، در شرایط بدون آبیاری با کاهش عملکرد دانه همراه بود که حاکی از برآورد پایین عملکرد در شرایط تنش است (جدول ۵). ریشه میانگین مربعات در برآورد میزان بهره‌وری مصرف آب مبتنی بر عملکرد دانه بر اساس آب مصرفی در سال ۱۴۰۰ و ۱۴۰۱ به ترتیب  $0/06$  و  $0/629$  کیلوگرم بر

جدول ۵. شاخص‌های آماری در شبیه‌سازی عملکرد و بهره‌وری مصرف آب تحت مدیریت‌های مختلف آبیاری در سال‌های ۱۴۰۰ و ۱۴۰۱

شاخص بدون آبیاری												شاخص های آماری	۶	
	۱۴۰۱	۱۴۰۰	۱۴۰۱	۱۴۰۰	۱۴۰۱	۱۴۰۰	۱۴۰۱	۱۴۰۰	۱۴۰۱	۱۴۰۰	۱۴۰۱	۱۴۰۰	۱۴۰۱	۱۴۰۰
۳۹۶/۴	۳۴۳/۰	۳۵۲/۳	۳۱۲/۷	۳۴۴/۹	۲۷۲/۰	۴۱۲/۷	۳۲۱/۵	۱۴۸/۳	۱۵۳/۵	-۴۹۹/۱	-۴۴۰/۳	MBE		
۴۱۳/۸	۳۶۳	۳۶۱/۶	۳۲۲/۲	۳۹۶/۵	۳۰۲/۳	۴۴۶/۷	۳۳۰/۰	۲۱۶/۷	۲۲۱/۴	۵۳۷/۷	۴۸۲/۴	RMSE		
۰/۱۶	۰/۱۴	۰/۱۳	۰/۱۱	۰/۱۷	۰/۱۲	۰/۲۱	۰/۱۵	۰/۱۱	۰/۱۱	۰/۳۱	۰/۲۸	RMSE <sub>n</sub>		
۰/۳۷	۰/۴۰	۰/۴۴	۰/۴۸	۰/۴۸	۰/۵۰	۰/۴۳	۰/۴۴	۰/۵۵	۰/۵۶	۰/۳۵	۰/۳۸	d		
-۹/۰۳	-۶/۶۹	-۶/۱۰	-۴/۶۲	-۱/۶۷	-۱/۹۰	-۳/۲۲	-۶/۱۶	-۰/۱۹	-۰/۲۰	-۵/۸۲	-۴/۳۶	EF		
۰/۹۹	۰/۹۷	۰/۸۹	۰/۸۹	۰/۹۰	۰/۹۱	۰/۹۲	۰/۹۴	۰/۹۱	۰/۹۱	۰/۶۳	۰/۷۵	$R^2$		
-۴۲/۹	-۱۵۶/۱	-۱۹۲/۷	-۲۵۶/۹	-۳۲/۷	-۸۶/۲	۸۱/۲	-۳۱/۱	-۲۱۸/۷	-۱۴۵/۵	-۱۲۳/۲	-۱۱۵۷/۷	MBE		
۱۸۹	۲۴۱/۹	۲۴۵/۹	۲۹۹/۲	۳۴۳/۰	۳۶۰	۲۹۱/۹	۱۸۱/۲	۳۴۰/۴	۲۷۰/۸	۱۲۷۵/۱	۱۲۰۵/۵	RMSE		
۰/۰۴	۰/۰۶	۰/۰۵	۰/۰۶	۰/۰۹	۰/۰۸	۰/۰۵	۰/۱۱	۰/۰۹	۰/۴۶	۰/۴۳	۰/۴۳	RMSE <sub>n</sub>		
۰/۳۶	۰/۱۲	۰/۱۶۴	۰/۱۶۰	۰/۱۴۶	۰/۱۴۶	۰/۱۵۳	۰/۱۶۸	۰/۱۵۶	۰/۱۶	۰/۲۸	۰/۲۹	d		
۰/۱۰	-۰/۴۷	-۰/۲۸	-۰/۱۸۷	-۰/۲۷	-۰/۲۲	-۰/۲۹	-۰/۱۶	-۰/۱۸	-۰/۰۹	-۱۳/۵	-۱۱/۸۶	EF		
۰/۹۹	۰/۹۹	۰/۸۷	۰/۸۷	۰/۹۱	۰/۹۱	۰/۱۸۸	۰/۹۳	۰/۹۱	۰/۹۳	۰/۷۲	۰/۲۱	$R^2$		
۹۲/۳	-۵۱/۹	-۳۸۵/۸	-۴۸۰/۱	-۵۵۵/۰	-۱۳۴/۷	۱۴۶/۹	۷/۶	-۲۰/۳	-۳۰/۴	-۸۳۳/۵	-۷۴۷/۹	MBE		
۲۵۹/۲	۲۴۸/۷	۴۳۸/۶	۵۲۳/۷	۴۵۰/۷	۴۷۴/۸	۴۳۰/۵	۳۰۲/۳	۳۷۸/۷	۳۸۳/۱	۹۶۵/۴	۸۸۰/۷	RMSE		
۰/۰۴	۰/۰۴	۰/۰۷	۰/۰۸	۰/۰۸	۰/۰۸	۰/۰۸	۰/۰۶	۰/۰۸	۰/۰۸	۰/۲۲	۰/۲۰	RMSE <sub>n</sub>		
۰/۵۲	۰/۴۱	۰/۰۷	۰/۰۳	۰/۰۵	۰/۰۵	۰/۰۵	۰/۱۰	۰/۰۱	۰/۰۰	۰/۳۸	۰/۴۲	d		
۰/۱۱	۰/۱۹	-۱/۴۱	-۲/۴۱	۰/۳۰	۰/۲۵	۰/۲۳	۰/۴۱	۰/۳۱	۰/۳۱	-۳/۰۹	-۲/۳۳	EF		
۰/۹۴	۰/۹۴	۰/۸۲	۰/۸۲	۰/۹۲	۰/۹۱	۰/۹۳	۰/۹۶	۰/۹۴	۰/۹۴	-۰/۰۰	۰/۸۷	$R^2$		
۰/۰۳	۰/۰۰۶	۰/۰۶۵	۰/۰۶	۰/۰۸	۰/۰۶	۰/۱۲	۰/۱۰	۰/۰۶۲	۰/۰۶	-۰/۵۸۴	-۰/۵۲	MBE		
۰/۰۶۶	۰/۰۰۶	۰/۰۶۷	۰/۰۶	۰/۰۹	۰/۰۷	۰/۱۴	۰/۱۰	۰/۰۹۴	۰/۰۸	۰/۶۲۹	۰/۵۶	RMSE		
۰/۱۶	۰/۱۴	۰/۱۳	۰/۱۱	۰/۱۸	۰/۱۲	۰/۲۲	۰/۱۵	۰/۱۳	۰/۱۱	۰/۳۱	۰/۲۸	RMSE <sub>n</sub>		
۰/۳۷	۰/۴۰	۰/۰۴۴	۰/۰۴۸	۰/۱۲۶	۰/۱۲۰	۰/۱۲۶	۰/۱۴۴	۰/۱۲۸	۰/۱۵۶	۰/۱۳۵	۰/۳۸	d		
-۹/۰۴	-۶/۶۹	-۶/۱	-۴/۶۲	-۱۲۰/۸	-۱/۹	-۱۸/۶۵	-۶/۱۶	-۵/۱۴	-۰/۰۲۰	-۵/۸۲	-۴/۳۶	EF		
۰/۹۹	۰/۹۷	۰/۸۹	۰/۸۹	-۰/۱۳۹	۰/۹۱	-۰/۱۳۲	۰/۹۴	-۰/۱۴۰	۰/۹۱	۰/۶۳	۰/۷۵	$R^2$		
-۰/۰۷	-۰/۰۳	-۰/۰۳۶	-۰/۰۵	-۰/۰۰۲	-۰/۰۲	۰/۰۲۹	-۰/۰۱	-۰/۰۷۸	-۰/۰۶	-۱/۴۴۲	-۱/۳۵	MBE		
۰/۰۳	۰/۰۴	۰/۰۴۵	۰/۰۶	۰/۰۸۵	۰/۰۸	۰/۰۹۵	۰/۰۵	۰/۱۳	۰/۱۰	۱/۴۹۱	۱/۴۱	RMSE		
۰/۰۴	۰/۰۶	۰/۰۵	۰/۰۶	۰/۱۰	۰/۰۹	۰/۰۹	۰/۰۵	۰/۱۱	۰/۰۹	۰/۴۶	۰/۴۳	RMSE <sub>n</sub>		
۰/۳۶	۰/۱۲	۰/۰۷	۰/۰۶	۰/۲۰	۰/۴۶	۰/۲۱	۰/۱۸	۰/۲۷	۰/۱۰	۰/۲۸	۰/۲۹	d		
۰/۱۰	-۰/۴۷	-۰/۲۸	-۰/۱۸۷	-۲/۲۸	-۰/۲۲	-۲/۶	۰/۱۶	-۳/۹۴	۰/۰۹	-۱۳/۵	-۱۱/۶۷	EF		
۰/۹۹	۰/۹۹	۰/۸۷	۰/۸۷	-۰/۱۳۹	۰/۹۱	-۰/۱۲۴	۰/۹۳	-۰/۱۴۰	۰/۹۳	۰/۷۳	۰/۲۱	$R^2$		
۰/۰۱۵	-۰/۰۱	-۰/۰۷۱	-۰/۰۹	-۰/۰۰۶	-۰/۰۳	۰/۰۵۱	۰/۰۰۲	۰/۰۰۲	-۰/۰۱	-۰/۹۷۵	-۰/۸۷	MBE		
۰/۰۴۱	۰/۰۴	۰/۰۸۱	۰/۱۰	۰/۱۱۲	۰/۱۱	۰/۱۴	۰/۰۹	۰/۱۵۹	۰/۱۴	۱/۱۲۹	۱/۰۳	RMSE		
۰/۰۴	۰/۰۴	۰/۰۷	۰/۰۸	۰/۰۸	۰/۰۸	۰/۰۹	۰/۰۶	۰/۰۹	۰/۰۸	۰/۲۳	۰/۲۰	RMSE <sub>n</sub>		
۰/۰۵۲	۰/۴۱	۰/۰۷	۰/۰۳	۰/۲۶	۰/۵۱	۰/۱۸	۰/۶۱	۰/۲۱	۰/۵۰	۰/۳۸	۰/۴۲	d		
۰/۱۱	۰/۱۹	-۰/۱۴	-۲/۴۱	-۲/۷۳	-۰/۲۵	-۳/۲۱	۰/۴۱	-۲/۲۸	۰/۳۱	-۳/۰۹	-۲/۳۳	EF		
۰/۹۴	۰/۹۴	۰/۸۲	۰/۸۲	-۰/۱۲۷	۰/۹۱	-۰/۲۱	۰/۹۶	-۰/۳۴	۰/۹۴	-۰/۰۴۰	۰/۸۷	$R^2$		

Y<sub>Bio</sub> و Y<sub>Pod</sub> به ترتیب عملکرد دانه، غلاف، زیست‌توده بر حسب کیلوگرم بر هکتار، WP<sub>Bio</sub> و WP<sub>Pod</sub>، WP<sub>Seed</sub> به ترتیب بهره‌وری مصرف آب مبتنی بر عملکرد دانه، غلاف و کیلوگرم بر هکتار و واحد شاخص‌های MBE، RMSE و R<sup>2</sup> بر حسب درصد است.

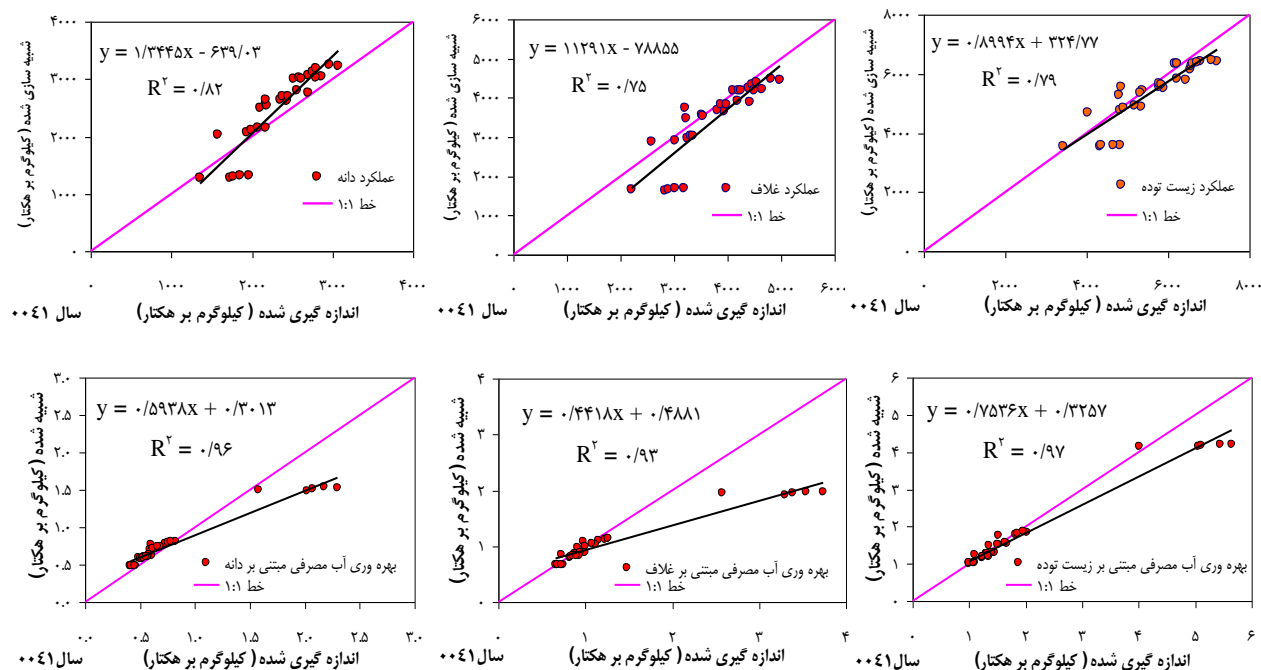
این پیش‌بینی بهترتبیب با کاهش  $30.5/58.9$  و  $23.9/55.6$  کیلوگرم بر هکتار بود (جدول ۶). مقایسه مقدارهای عملکرد دانه، غلاف و زیست‌توده (شکل ۲) در شرایط مشاهده عملکرد دانه، غلاف و زیست‌توده (شکل ۳) در شرایط مشاهده شده و شبیه‌سازی شده به سیله مدل با خط  $1:1$  نشان داد که در مدل، شبیه‌سازی عملکرد زیست‌توده و دانه ایده‌آل بود و نقاط مربوط به عملکرد نزدیک به خط  $1:1$  هستند و می‌توان شبیه‌سازی عملکرد زیست‌توده و دانه را برای مراحل مختلف رشد در سال‌های مورد مطالعه، مطلوب ارزیابی کرد.

جدول ۶. نتایج شبیه‌سازی پارامترهای گیاهی مدل Dssat در سال‌های ۱۴۰۰ و ۱۴۰۱

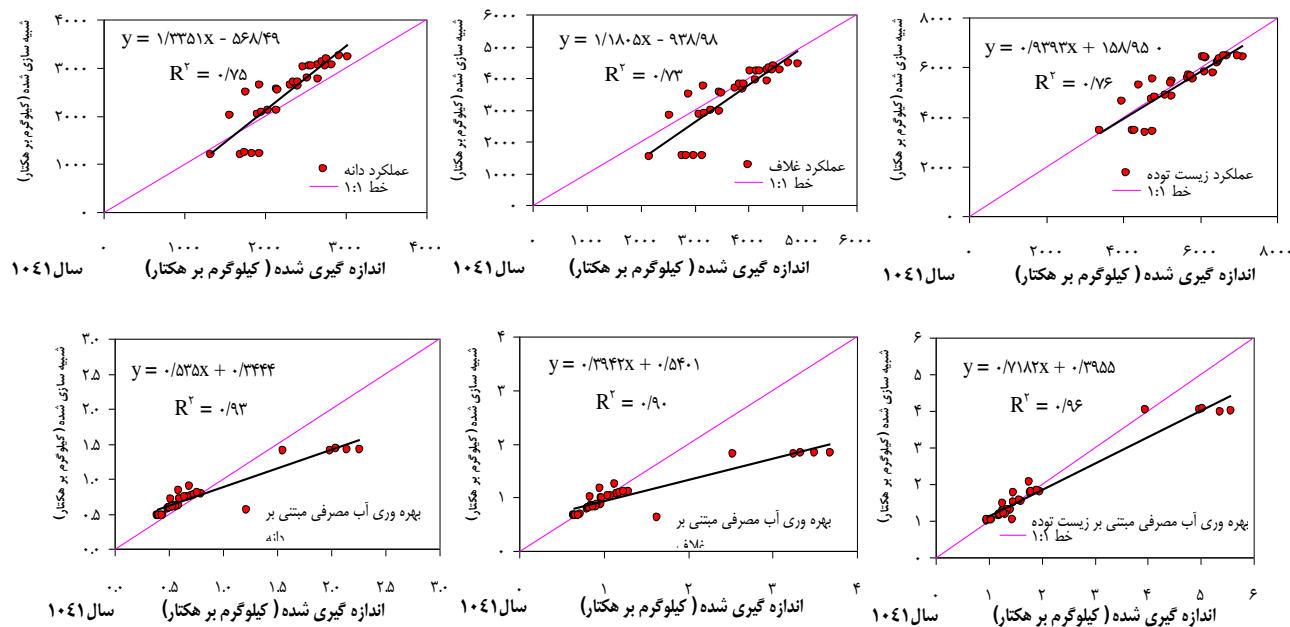
سال	صفات گیاهی	MSE	RMSE	RMSE <sub>n</sub>	d	EF
۱۴۰۱/۷۶۶	عملکرد دانه	۳۴۶۰	۰/۱۶۲	۰/۹۰۲	۰/۴۴۷	
-۳۰۵/۵۸۹	عملکرد غلاف	۵۳۳۸	۰/۱۶۱	۰/۸۹۱	۰/۴۷۹	
-۲۳۹/۵۵۶	عملکرد زیست توده	۵۱۲۴	۰/۰۹۹	۰/۹۳۹	۰/۷۶۴	۱۴۰۱
-۰/۰۳۲	بهره‌وری مصرف آب در دانه	۰/۲۴۰۱	۰/۸۰۴	۰/۹۲۸	۰/۸۱۶	
-۰/۸۵۲	بهره‌وری مصرف آب در غلاف	۰/۵۷۹۱	۰/۴۵۴	۰/۸۱۰	۰/۶۰۰	
-۰/۱۶۹	بهره‌وری مصرف آب در زیست توده	۰/۴۳۰۵	۰/۲۲۳	۰/۹۷۰	۰/۹۰۷	
۱۴۰۲/۷۶۷	عملکرد دانه	۴۰۷۲	۰/۱۹۵	۰/۸۷۷	۰/۲۵۰	
-۲۷۳/۱۲۳	عملکرد غلاف	۵۸۳۲	۰/۱۷۲	۰/۸۸۵	۰/۴۱۱	
-۱۷۵/۹۵۶	عملکرد زیست توده	۵۳۵۷	۰/۱۰۶	۰/۹۳۶	۰/۷۴۰	۱۴۰۱
-۰/۰۳۱	بهره‌وری مصرف آب در دانه	۰/۲۷۱۴	۰/۳۴۹	۰/۸۹۹	۰/۷۵۹	
-۰/۲۵۶	بهره‌وری مصرف آب در غلاف	۰/۶۱۳۸	۰/۴۸۵	۰/۷۶۶	۰/۵۳۷	
-۰/۱۶۴	بهره‌وری مصرف آب در زیست توده	۰/۴۷۲۷	۰/۲۴۷	۰/۹۶۱	۰/۸۸۴	

واحد RMSE و MBE کیلوگرم بر هکتار و واحد EF (IOA) و RMSE<sub>n</sub> بر حسب درصد است.

ریشه میانگین مربعات خطای نسبی (RMSE<sub>n</sub>) بر اساس مقایسه دو سال نشان داد که در سال ۱۴۰۰ این میزان برای عملکرد دانه، غلاف و زیست توده و بهره‌وری دانه، غلاف و زیست توده به ترتیب  $۰/۱۶۲$ ،  $۰/۸۹۱$ ،  $۰/۹۰۷$  و  $۰/۹۰۲$  درصد بود، در حالی که این شاخص در سال ۱۴۰۱ و  $۰/۲۲۳$  درصد بود، برای عملکرد دانه، غلاف و زیست توده به ترتیب  $۰/۱۹۵$ ،  $۰/۸۷۷$  و  $۰/۹۰۷$  درصد بود (جدول ۶). شاخص ضریب کارایی (EF) برای عملکرد دانه، غلاف و زیست توده در سال اول به ترتیب  $۰/۴۴۷$ ،  $۰/۴۷۹$  و  $۰/۴۰۷$  درصد، و شاخص توافق ویلموت (d) برای عملکرد دانه، غلاف و زیست توده در سال‌های مورد مطالعه از  $۰/۸۷۲$  تا  $۰/۹۳۹$  درصد، و برای بهره‌وری مصرف آب مبتنی بر عملکرد دانه، غلاف و زیست توده از  $۰/۹۷۰$  تا  $۰/۹۷۶$  درصد متغیر بود که نزدیک بودن این شاخص به عدد یک، نشان‌دهنده قابل اطمینان بودن مقادیر شبیه‌سازی شده است (جدول ۶). شاخص ضریب کارایی (EF) در عملکرد دانه، غلاف و زیست توده در سال اول به ترتیب  $۰/۴۴۷$ ،  $۰/۴۷۹$  و  $۰/۴۰۷$  درصد و برای سال دوم به ترتیب  $۰/۴۷۹$ ،  $۰/۴۸۵$  و  $۰/۴۸۵$  درصد مشاهده شد (جدول ۶). میانگین انحراف خطای (MBE) در عملکرد دانه با میانگین  $۱۶۰/۳۸۹$  کیلوگرم بر هکتار، نشان‌دهنده پیش‌بینی بیش از میزان واقعی است، در حالی که برای عملکرد غلاف و زیست توده



شکل ۲. مقادیر شبیه‌سازی و اندازه‌گیری شده عملکرد و بهره‌وری مصرف آب در زیست‌توده، غلاف و دانه سویا در سال‌های ۱۴۰۰



شکل ۳. مقادیر شبیه‌سازی و اندازه‌گیری شده عملکرد و بهره‌وری مصرف آب در زیست‌توده، غلاف و دانه سویا در سال‌های ۱۴۰۱

محدوده ۰/۱۴۴ تا ۰/۱۵۹ درصد و در سال ۱۴۰۱ در محدوده ۰/۱۶۴ تا ۰/۱۴۰ درصد متغیر بود (جدول ۷). مقادیر شاخص توافق یا سازگاری (d) در سال اول در محدوده ۰/۹۴۱ تا ۰/۹۴۱ درصد و در سال دوم در محدوده ۰/۹۲۵ تا ۰/۹۴۰ درصد را نشان داد که با توجه به نزدیک بودن این ارقام به عدد یک، برآورد بالای مدل را نشان می‌دهد. ضریب کارایی (EF) برای سال ۱۴۰۰ در تیمارهای نیاز آبی بین ۰/۷۷۲ تا ۰/۸۱۰ درصد متغیر بود، در حالی که برای سال ۱۴۰۱ این محدوده بین ۰/۷۶۴ تا ۰/۸۰۹ درصد متغیر بود که با توجه به نزدیک بودن آنها به عدد یک، نشان‌دهنده شبیه‌سازی بهتر مدل است.

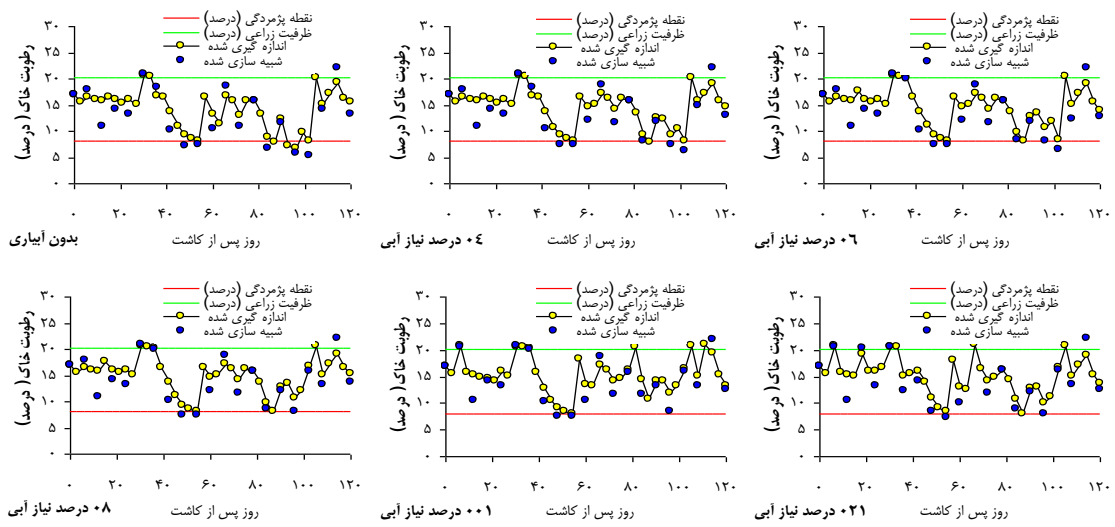
#### محتوای رطوبت خاک

شبیه‌سازی رطوبت در عمق توسعه ریشه برای سطوح مختلف نیاز آبی نشان داد که در طی دو سال، شاخص آماری میانگین انحراف خطأ (MBE) در همه تیمارها با افزایش پیش‌بینی همراه بود که این مقادیر توسط مدل در سال دوم بهتر از سال اول برآورد شد (جدول ۷). ریشه میانگین مربعات خطأ (RMSE) در سال اول از ۲/۰۳۸ تا ۲/۱۱۷ درصد و در سال دوم ۰/۰۲۰ تا ۰/۰۲۱ درصد متغیر بود که با توجه به نزدیک بودن این اعداد به صفر، نشان از تخمین مناسب مدل دارد (جدول ۷). ریشه میانگین مربعات خطای نسبی (RMSE<sub>n</sub>) در سال ۱۴۰۰ در

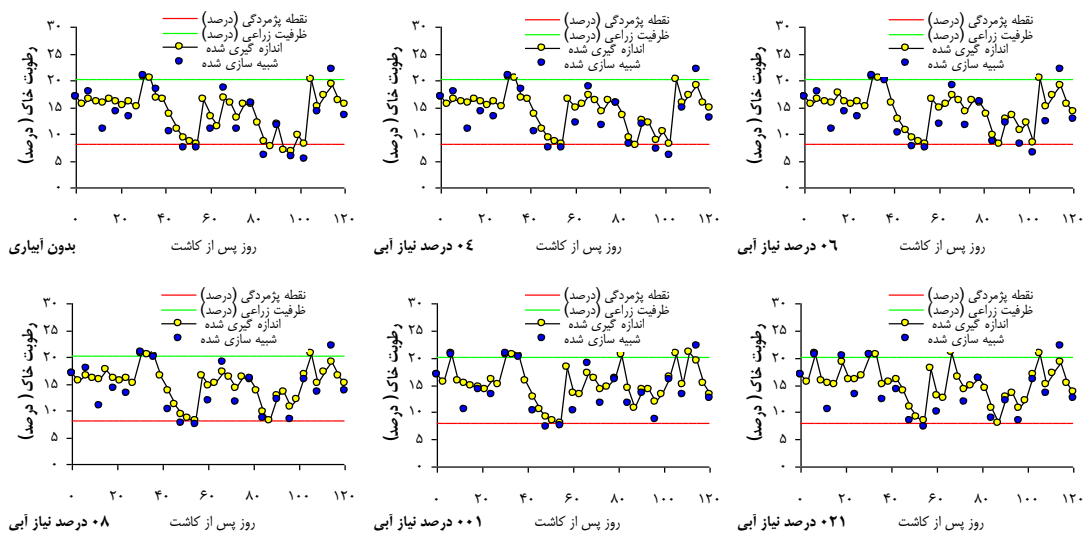
جدول ۷. نتایج آماری شبیه‌سازی و اندازه‌گیری شده رطوبت خاک با استفاده از مدل Dssat

سال	نیاز آبی	EF	RMSE <sub>n</sub>	d	MBE
۱۴۰۱	بدون آبیاری	۰/۸۱۰	۰/۱۵۹	۰/۹۴۱	۰/۱۰۰
	در صدیاز آبی	۰/۷۸۹	۰/۱۵۸	۰/۹۳۳	۰/۹۸۶
	۴۰	۰/۷۸۷	۰/۱۵۸	۰/۹۳۴	۱/۱۱۹
	۶۰	۰/۷۷۲	۰/۱۴۸	۰/۹۲۸	۱/۰۵۲
	۸۰	۰/۷۷۳	۰/۱۴۸	۰/۹۲۷	۱/۱۷۶
	۱۰۰	۰/۸۰۶	۰/۱۴۴	۰/۹۳۸	۱/۱۶۷
۱۴۰۰	بدون آبیاری	۰/۸۰۹	۰/۱۶۴	۰/۹۴۰	۰/۰۱۰
	۴۰	۰/۷۹۳	۰/۱۵۷	۰/۹۳۴	۰/۰۱۰
	۶۰	۰/۷۸۷	۰/۱۵۸	۰/۹۳۴	۰/۰۱۱
	۸۰	۰/۷۶۴	۰/۱۵۱	۰/۹۲۵	۰/۰۱۱
	۱۰۰	۰/۷۷۶	۰/۱۴۷	۰/۹۲۸	۰/۰۱۲
	۱۲۰	۰/۸۰۲	۰/۱۴۴	۰/۹۳۷	۰/۰۱۲

واحد شاخص‌های MBE و EF (IOA)، RMSE<sub>n</sub> و R<sup>2</sup> بر حسب درصد می‌باشد.



شکل ۴. مقادیر شبیه‌سازی و اندازه‌گیری شده رطوبت خاک در تیمارهای مختلف آبیاری در سال ۱۴۰۰



شکل ۵. مقادیر شبیه‌سازی و اندازه‌گیری شده رطوبت خاک در تیمارهای مختلف آبیاری در سال ۱۴۰۱

میزان خطای نسبی را داشت. ریشه میانگین مربعات خطای نسبی ( $RMSE_n$ ) بر اساس مقایسه دو سال نشان داد که در سال ۱۴۰۰ این میزان برای عملکرد دانه، غلاف و زیست توده و بهرهوری دانه، غلاف و زیست توده به ترتیب  $0/161$ ،  $0/162$ ،  $0/099$ ،  $0/223$ ،  $0/304$  و  $0/454$  درصد بود، در حالی که این شاخص در سال ۱۴۰۱ برای عملکرد دانه، غلاف و زیست توده و بهرهوری مصرف آب مبتنی بر دانه، غلاف و زیست توده بهتر ترتیب  $0/195$ ،  $0/172$ ،  $0/106$ ،  $0/247$  و  $0/485$  درصد بود. بهطور کلی بر اساس نتایج آماری، شبیه‌سازی عملکرد دانه، غلاف و زیست توده تحت تأثیر نیازهای مختلف آبیاری و سطوح متفاوت کود نیتروژن، قابل قبول و مطلوب بود و بهنظر می‌رسد استفاده از مدل به عنوان ابزاری راهگشا جهت پشتیبانی پژوهش‌های علمی و ارتقاء تصمیم‌گیری‌ها در مدیریت مصرف آب در سویا در منطقه مورد مطالعه قابل توصیه می‌باشد.

### نتیجه‌گیری

نتایج حاصل از ارزیابی مدل DSSAT نشان داد که این مدل قادر است با دقت قابل قبولی عملکرد سویا را شبیه‌سازی کند. با افزایش تنش آبی، درصد خطای نسبی شبیه‌سازی شده در شرایط تنش بیشتر از شرایط آبیاری شده بود. میزان عملکرد زیست توده، دانه و غلاف با تأمین  $100$  درصد نیاز آبی با خطای نسبتاً کمتری همراه بود که نشان دهنده روند تغییرات عملکرد در نیازهای مختلف آبی و سطوح متفاوت کودی در شبیه‌سازی می‌باشد. با افزایش تنش آبی تا سطح  $40$  درصد نیاز آبی، مدل توانسته عملکردها را با تقریب مناسبی برآورد نماید. اما با افزایش تنش و در حالت بدون آبیاری، مدل توانایی لازم برای شبیه‌سازی مناسب و دقیق از مقادیر عملکرد را دارا نمی‌باشد. ولی با این رویکرد، میزان خطای نسبی برای عملکرد زیست توده در سال ۱۴۰۰ و ۱۴۰۱ به ترتیب  $3$  و  $2$  درصد بود که بهترین

### Reference:

- Abdzad Gohari, A., & Babazadeh, H. (2023). Simulation of yield and water productivity of Cowpea cultivars under deficit irrigation conditions using the DSSAT model. *Iranian Irrigation and Drainage*, 3(1), 215-232 (in Persian).
- Adhikari, P., Ale, S., Bordovsky, J.P., Thorp, K.R., Modala, N.R., Rajan, N., & Barnes, E.M. (2016). Simulating future climate change impacts on seed cotton yield in the Texas High Plains using the CSM-CROPGRO-Cotton model. *Agricultural Water Management*, 164, 317-330.
- Allen, R.G., Pereira, L.S., Raes, D., & Smith, M. (1998). Crop Evapotranspiration-Guidelines for Computing Crop Water Requirements-FAO Irrigation and Drainage Paper 56, 300. FAO, Rome, pp. 6541.
- Antolin, L.A., Heinemann, A.B., & Marin, F.R. (2021). Impact assessment of common bean availability in Brazil under climate change scenarios. *Agricultural Systems*, 191, 1-9.
- Babazadeh, H., & Sarai Tabrizi, M. (2013). Calibration of SWAP Model for Simulating Crop Yield, Biological Yield and Soybean Water Use Efficiency. *Journal of Irrigation Sciences and Engineering*, 35(4), 83-96. [in Persian]
- Bao, Y., Hoogenboom, G., McClendon, R.W., & Paz, J.O. (2015). Potential adaptation strategies for rainfed soybean production in the south-eastern USA under climate change based on the CSM-CROPGRO-Soybean model. *The Journal of Agricultural Science*, 798-824.
- Bhatia, V.S., Singh, P., Wani, S.P., Chauhan, G.S., Rao, A.K., Mishra, A.K., & Srinivas, K. (2008). Analysis of potential yields and yield gaps of rainfed soybean in India using CROPGRO-Soybean model. *Agricultural and Forest Meteorology*, 1252-1265.
- Biel, W., Gawęda, D., Łysoń, E., & Hury, G. (2017). The effect of variety and agrotechnical factors on nutritive value of soybean seeds. *Acta Agrophysica*. 24, 395-404.
- Boote KJ, Porter C, Jones JW, Thorburn PJ, Kersebaum KC, Hoogenboom G, White JW, Hatfield JL. 2016. Sentinel site data for crop model improvement definition and characterization. *Advances in Agricultural Systems Modeling*, 7, 125-158.
- Boote, K. J., Jones, J.W., Mishoe, J.W., & Wilkerson, G.G. (1986). Modelling growth and yield of groundnut. *Agri meteorology of Groundnut: Proceeding of an International Symposium*, ICRISAT Sahelian Center, Niamey, Niger. 21-26 Aug, 1985, ICRISAT, Patancheru, A. P. 502 324, India, pp. 243-254.
- Boote, K.J., Jones, J.W., Hoogenboom, G., & Pickering, N.B. (1998). The CROPGRO model for grain legumes. In: Tsuji, G.Y., Hoogenboom, G., Thornton, P.K. (Eds.), *Understanding Options for Agricultural Production*. Springer Science and Business Media, Dordrecht, pp. 99-128.
- Boulch, Elmerich, C., Djemel, A., & Lange, B. (2021). Evaluation of soybean (*Glycine max* L.) adaptation to northern European regions under different agro-climatic scenarios. In *Silico Plants*, 3(1), pp. 1-13.
- Clark, M., & Tilman, D. (2017). Comparative analysis of environmental impacts of agricultural production systems, agricultural input efficiency, and food choice. *Environmental Research Letters*, 1-11.
- D'Amour, C.B., Wenz, L., Kalkuhl, M., Steckel, J.C., & Creutzig, F. (2016). Teleconnected food supply shocks. *Environmental Research Letters*, 035007.
- Das, H.P. (2003). Water use efficiency of soybean and its yield response to evapotranspiration and rainfall. *Journal of Agricultural Physics*, 3(1), 35-39.
- Dias, G.V.S., Silva, E.H.F.M., Vieira Junior, N.A., & Marin, F.R. (2020). Simulation of the water footprint of soybeans in Mato Grosso based on climate change projections. *Agrometeoros*, 27, 155-163.
- Edreira, J.I.R., Guilpart, N., Sadras, V., Cassman, K.G., van Ittersum, M.K., Schils, R.L., & Grassini, P. (2018). Water productivity of rainfed maize and wheat: a local to global perspective. *Agricultural and Forest Meteorology*, 259, 364-373.
- Er-Raki, S., Bouras, E., Rodriguez, J.C., Watts, C.J., Lizarraga-Celaya, C., & Chehbouni, A. (2020). Parameterization of the AquaCrop model for simulating table grapes growth and water productivity in an arid region of Mexico. *Agricultural Water Management*, 106585, 106585.
- FAOSTAT, (2016). Food and Agriculture Organization of the United Nations. Stadistic Division [WWW Document]. URL <http://faostat3.fao.org/faostat-gateway/go/to/down>. (Accessed 6.14.16).
- Garcia, A., Persson, T., Guerra, L.C., & Hoogenboom, G. (2010). Response of soybean genotypes to different irrigation regimes in a humid region of the southeastern USA. *Agricultural Water Management*, 97, 981-987.
- Godwin, D.C., & Allan, C.J. (1991). Nitrogen dynamics in soil-plant systems. *Modeling Plant and Soil Systems* 287-321.
- Godwin, D.C., & Singh, U. (1998). Nitrogen balance and crop response to nitrogen in upland and lowland cropping systems. In: Tsuji, G.Y., Hoogenboom, G., Thornton, P.K . (Eds.), *Understanding Options for Agricultural Production*. Springer Science and Business Media, Dordrecht, pp. 55-77.
- Jamieson, P.D., Porter, J.R., & Wilson, D.R. (1991). A test of the computer simulation model ARCWHEAT on wheat crops grown in New Zealand. *Field Crops Research*, 27, 337-350.
- Jones, C.A., & Kiniry, J.R. (1986). CERES-Maize: A simulation model of maize growth and development. Texas A&M Univ. Press, College Station.
- Jons, J. W., B. A. Keat & Porer. C.H. (2001). Aproachest mdula mdeldevelopment. *Agric. Systems* 70: 421-443.

- Kahraman, A. 2017. Nutritional value and foliar fertilization in soybean. *J. Elem.* 22, 55–66.
- Karam, F., Karaa, K., & Tarabey, N. (2005). Effects of deficit irrigation on yield and water use efficiency of some crops under semi-arid conditions of the Bekaa valley of Lebanon. , Amman, Jordan, 2 (1), 139-155.
- Lich, M.A., Wright, D., Lenssen, & A.W., (2013). Soybean Response to Drought, Agriculture. Iowa State University Extension and Outreach, Ames, IA (USA).
- Maiorano, A., P. Martre, S. Asseng, F. Ewert, C. Müller, R.P. Rötter, A.C. Ruane, M.A. Semenov, D. Wallach, E. Wang, P.D. Alderman, B.T.Kassie, C. Biernath, B. Bass, D. Cammarano, A.J. Challinor, J. Doltra, B. Dumont, E. Eyshi Rezaei, S. Gayler, K.C. Kersebaum, B.A. Kimball, A.K. Koehler, B. Liu, G.J. O'Leary, J.E. Olesen, M.J. Ottman, E. Priesack, M. Reynolds, P. Strattonovitch, T. Streck, P. J. Thorburn, K. Waha, G.W. Wall, J.W. White, Z. Zhao, & Zhu., Y. (2017). Crop model improvement reduces the uncertainty of the response to temperature of multi-model ensembles. *Field Crops Research*, 202, 5-20.
- Majidian, M., & Ghadiri, H. (2002). The effect of moisture stress and different amounts of nitrogen fertilizer in different stages of growth on the yield of yield components, water use efficiency and some physiological characteristics of corn plants. *Iranian Journal of Agricultural Sciences*, 33(3), 492-499. [in Persian]
- Marchand, P., Carr, J.A., Dell'Angelo, J., Fader, M., Gephart, J.A., Kummu, M., & Ratajczak, Z. (2016). Reserves and trade jointly determine exposure to food supply shocks. *Environmental Research Letters*, 095009.
- Montoya, F. García, C. Pintos, F. & Otero. A. (2017). Effects of irrigation regime on the growth and yield of irrigated soybean in temperate humid climatic conditions. *Agricultural Water Management* 193: 30-45.
- Mourtzinis, S. Gurpreet Kaurb, John M. Orlowskib, Charles A. Shapiroc, Chad D. Leed, Charles Wortmannc, David Holshousere, Emerson D. Nafzigerf, Hans Kandlg, Jason Niekampf. William J. Rossh, Josh Loftoni, Joshua Vonkf, Kraig L. Roozeboomj, Kurt D. Thelenk, Laura E. Lindseyl, Michael Statonm, Seth L. Naeven, Shaun N. Casteelo, William J. Wieboldp, Shawn & Conleya., P. (2018). Soybean response to nitrogen application across the United States: A synthesis-analysis. *Field Crops Research*, 215, 74-82.
- Quansah, J.E., Welikhe, P., El Afandi, G., Fall, S., Mortley, D., & Ankumah, R. (2020). CROPGRO-soybean model calibration and assessment of soybean yield responses to climate change. *American Journal of Climate Change*, 297-316.
- Ritchie, J. T., & Otter, S. (1985). Description and performance of CERES-Wheat: a useroriented wheat yield model. In: ARS Wheat Yield Project. ARS-38. Natl Tech Info Serv, Springfield, Missouri, pp. 159-175.
- Searchinger, T., Waite, R., Hanson, C., Ranganathan, J., Dumas, P., Matthews, E., & Klirs, C. 2019. Creating a Sustainable Food Future: a Menu of Solutions to Feed Nearly 10 Billion People by 2050 (accessed 16 April 2020).
- Silva, E.H.F.M., Boote, K.J., Hoogenboom, G., Gonçalves, A.O., Junior, A.S.A., & Marin, F.R. (2021). Performance of the CSM-CROPGRO-soybean in simulating soybean growth and development and the soil water balance for a tropical environment. *Agricultural Water Management*, 252, 106929
- Singh, A. K., Tripathy, R., & Chopra, U.K. (2008). Evaluation of CERES Wheat and Crop System models for water-nitrogen interactions in wheat crop. *Agricultural Water Management*, 95, 776-786.
- Singh, U., J. T., Ritchie & Tsuji, G.Y. (1991). Simulation models for crop growth: IBSNAT approach. In: International Symposium on Sweet Potato Technology for the 21th Century, Tuskegee University, Tuskegee, Alabama.
- Souza, T.T., Antolin, L.A.S., Bianchini, V.J.M., Pereira, R.A.A., Silva, E.H.F.M., & Marin, F. R. (2019). Longer crop cycle lengths could offset the negative effects of climate change on Brazilian maize. *Bragantia*.
- Thomson, A.M., Calvin, K.V., Smith, S.J., Kyle, G.P., Volke, A., & Patel, P. (2011). RCP4. 5: a pathway for stabilization of radiative forcing by 2100. *Climate Change*, 77-94.
- Timsina, J., Godwin, D., Humphreys, E., Kukal, S.S., & Smith, D. (2008). Evaluation of options for increasing yield and water productivity of wheat in Punjab, India using the DSSAT-CERES-Wheat model. *Agric. Water Manag.* 1099-1110.
- Tyagi, S.D., Khan, M.H., Teixeira D.A., & Silva, J.A. (2011). Yield stability of some soybean genotypes across diverse environments. *Int. J. Plant Breed.* 5, 37-41.
- White, J., & Hoogenboom, G. (2010). Crop response to climate: ecophysiological models. In: Lobell D, Burke M, editors. Climate change and food security, advances in global change research, 37, 59-83.
- Wilkerson, G. G. , J. W. Jones, K. J. Boote, K. T. Ingram, J. W. Mishoe, (1983). Modeling soybean growth for crop management. American Society of Agricultural and Biological Engineers. 26: 63-73.
- Willmott, C.J. (1982). Some comments on the evaluation of model performance. *Bulletin of American Meteorology Society*, 63, 1309-1313.
- Wright, G.C. (1996). Selection for water-use efficiency in grain legume species. 554-557, In: Michalk, D.L. and J.E. Dratley (eds.), Proceedings of the 8th Australian Agronomy Conference, Toowoomba, Australia.
- Yang, J.M., Yang, J.Y., Liu, S., & Hoogenboom, G. (2014). An evaluation of the statistical methods for testing the performance of crop models with observed data. *Agricultural Systems*, 127, 81-89.
- Yousefi, S., Pakenjad, F., & Ilkai, M. (2011). The effect of irrigation management and nitrogen fertilization on soybean plant yield and yield. The first national conference on new topics in agriculture, 25-32. [in Persian].

## یادداشت‌ها

<sup>۱</sup>Glycine max L

<sup>۲</sup>Crop Growth Models (CGM)

<sup>۳</sup>Decision Support System For Agrotechnology Transfer (DSSAT)

<sup>۴</sup>JW Jones

<sup>۵</sup>KJBoote

<sup>۶</sup>Priestley and Physics

<sup>۷</sup>Mean Relative Error (MRE)

<sup>۸</sup>Root Mean Square Error (RMSE)

<sup>۹</sup>Mean Bias Error (MBE)

<sup>۱۰</sup>Normalized Root Mean Square Error ( $RMSE_n$ )

<sup>۱۱</sup>Index of Agreement ( $d$  or IoA)

<sup>۱۲</sup>Coefficient of Efficiency (EF)